

2019

Weekly / Semanal Influenza Report EW 9/ Reporte de Influenza SE 9

Regional Update: Influenza & Other Respiratory Viruses /
Actualización Regional: Influenza y Otros virus respiratorios



March 13, 2019
13 de marzo de 2019

*Data as of March 8, 2019/
Datos hasta el 8 de marzo de 2019*

*Prepared by PHE/IHM/Influenza Team/
Realizado por PHE/IHM/Equipo de Influenza*

WEEKLY REPORT DATA SOURCES

The information presented in this update is based on data provided by Ministries of Health and National Influenza Centers of Member States to the informatics global platforms

http://www.who.int/influenza/gisrs_laboratory/flunet/en/

and http://www.who.int/influenza/surveillance_monitoring/fluid/en/ ;

and reports/weekly bulletins that Ministries of Health published on its website or shared with PAHO/WHO.

La información presentada en esta actualización se obtiene a partir de los datos notificados por los Ministerios de Salud y los Centros Nacionales de Influenza de los Estados Miembros a las plataformas informáticas globales de la OPS/OMS: [FluNet](#) y [Fluid](#); y de los informes/boletines semanales que los Ministerios de Salud publican en sus páginas web o comparten con OPS/OMS.

PAHO INFLUENZA LINKS

PAHO interactive data / Datos interactivos de la OPS:

PAHO FluNet: http://ais.paho.org/phip/viz/ed_flu.asp

PAHO Fluid: <http://ais.paho.org/phip/viz/flumart2015.as>

Influenza Regional Reports / Informes regionales de influenza

In English: <http://www.paho.org/influenzareport>

En español: www.paho.org/reportesinfluenza

Severe acute respiratory infections network - SARInet
Red de las infecciones respiratorias agudas graves - SARInet:

<http://www.sarinet.org>

[Go to Index/](#)
[Ir al Índice](#)

REPORT INDEX

ÍNDICE DE LA ACTUALIZACIÓN

| Section | Content | Page |
|---------|---|------|
| 1 | <u>Weekly Summary / Resumen Semanal</u> | 4 |
| 2 | <u>Overall Influenza and RSV circulation / Circulación general de los virus influenza y VSR</u> | 6 |
| 3 | <u>Weekly and Cumulative numbers / Números semanales y acumulados</u> | 8 |
| 4 | <u>Epidemiological and Virologic update by country / Actualización epidemiológica y virológica por país</u> | 9 |
| 5 | <u>Acronyms / Acrónimos</u> | 36 |

WEEKLY SUMMARY (ENGLISH)

North America: Overall, influenza activity decreased in [Canada](#); and influenza activity remained elevated in the [United States](#); influenza A(H3N2) was reported more frequently than other influenza viruses. In [Mexico](#), influenza activity remained the same as previous weeks with a predominance of influenza A(H1N1)pdm09.

Caribbean: In general, influenza virus activity decreased in the sub-region. In [Cuba](#) and [Jamaica](#) influenza detections increased with influenza A(H1N1)pdm09 predominating.

Central America: Influenza activity was low throughout the sub-region with influenza A(H1N1)pdm09 predominating. In [Guatemala](#), influenza activity increased with influenza A(H3N2) predominance. Overall, in the subregion RSV activity decreased.

Andean Region: Influenza activity decreased in the sub-region with influenza A(H3N2) predominance and low SARI activity. [Bolivia](#) and [Ecuador](#) reported an increase in RSV activity.

Brazil and Southern Cone: Overall low activity of influenza and RSV was reported throughout the subregion.

RESUMEN SEMANAL (ESPAÑOL)

América del Norte: En general, la actividad de la influenza disminuyó en [Canadá](#); y la actividad de influenza permaneció elevada en los [Estados Unidos](#); influenza A (H3N2) se reportó con más frecuencia que otros virus de influenza. En [México](#), la actividad de la influenza se mantuvo igual que en las semanas anteriores con predominio de influenza A(H1N1)pdm09.

Caribe: En general, la actividad del virus de influenza disminuyó en la subregión. En [Cuba](#) y [Jamaica](#) las detecciones de influenza aumentaron con influenza A(H1N1)pdm09 predominando.

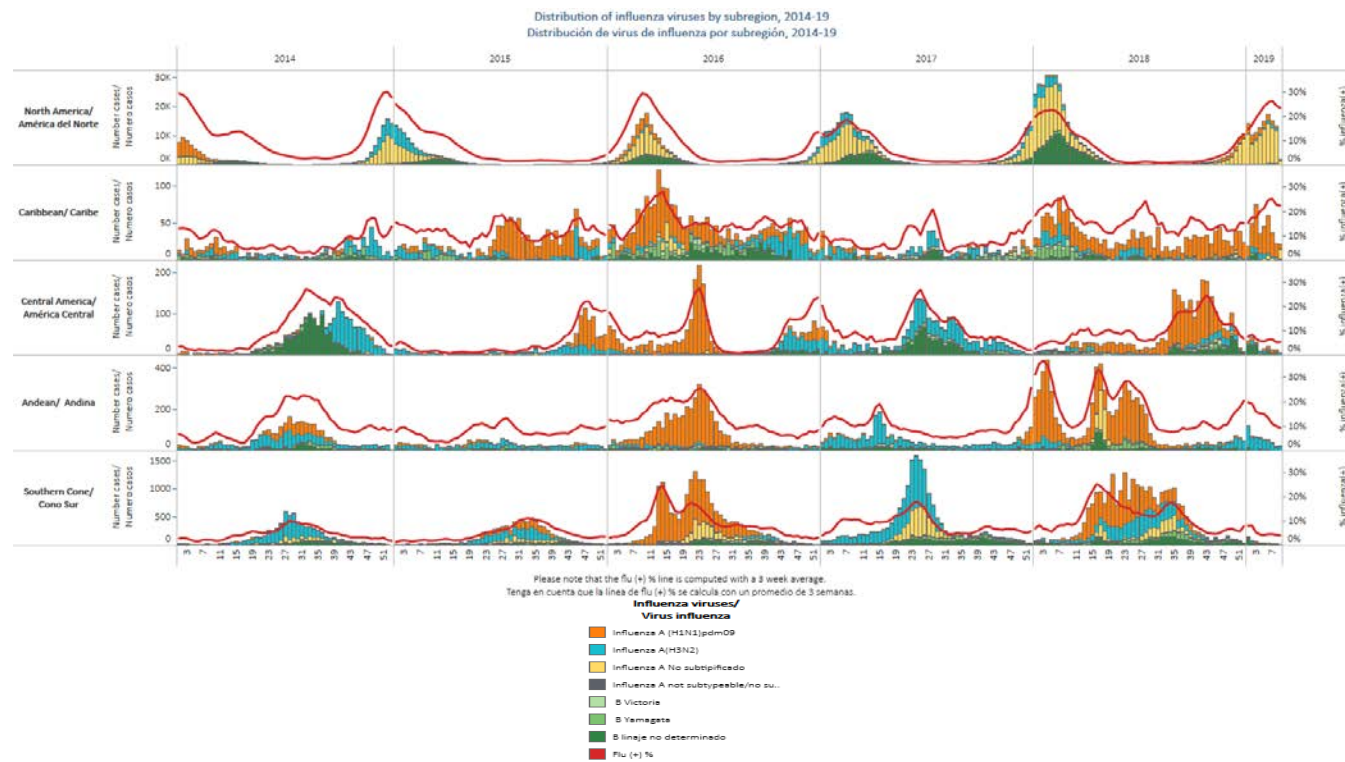
América Central: La actividad de influenza fue baja en toda la subregión con predominio de influenza A(H1N1)pdm09. En [Guatemala](#), la actividad de influenza aumentó con predominio de influenza A(H3N2). En general, en la subregión disminuyó la actividad de VRS.

Subregión Andina: La actividad de influenza disminuyó en la subregión con predominio de influenza A(H3N2) y baja actividad de IRAG. [Bolivia](#) y [Ecuador](#) reportaron un aumento en la actividad de VRS.

Brasil y Cono Sur: En general, se reportó baja actividad de influenza y del VRS en toda la subregión.

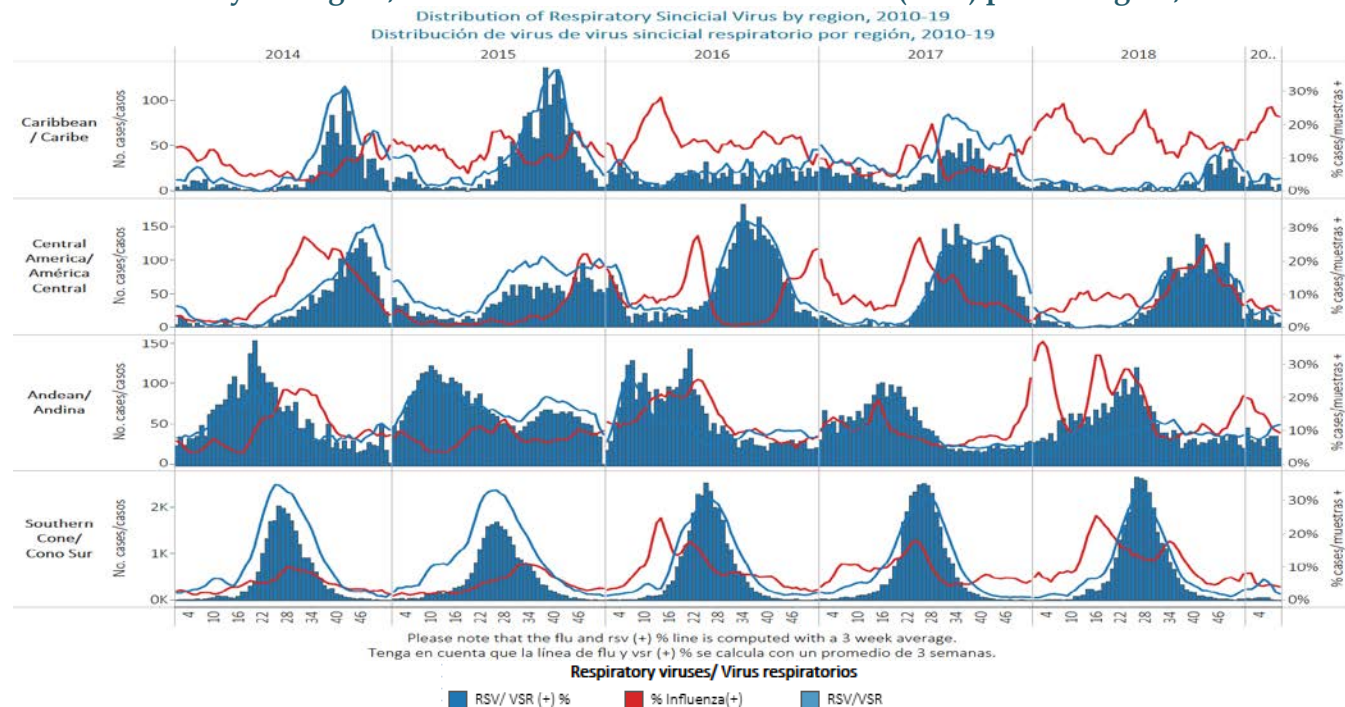
Influenza circulation by subregion, 2014-19

Circulación de virus influenza por subregión, 2014-19



Respiratory syncytial virus (RSV) circulation by subregion, 2014-19

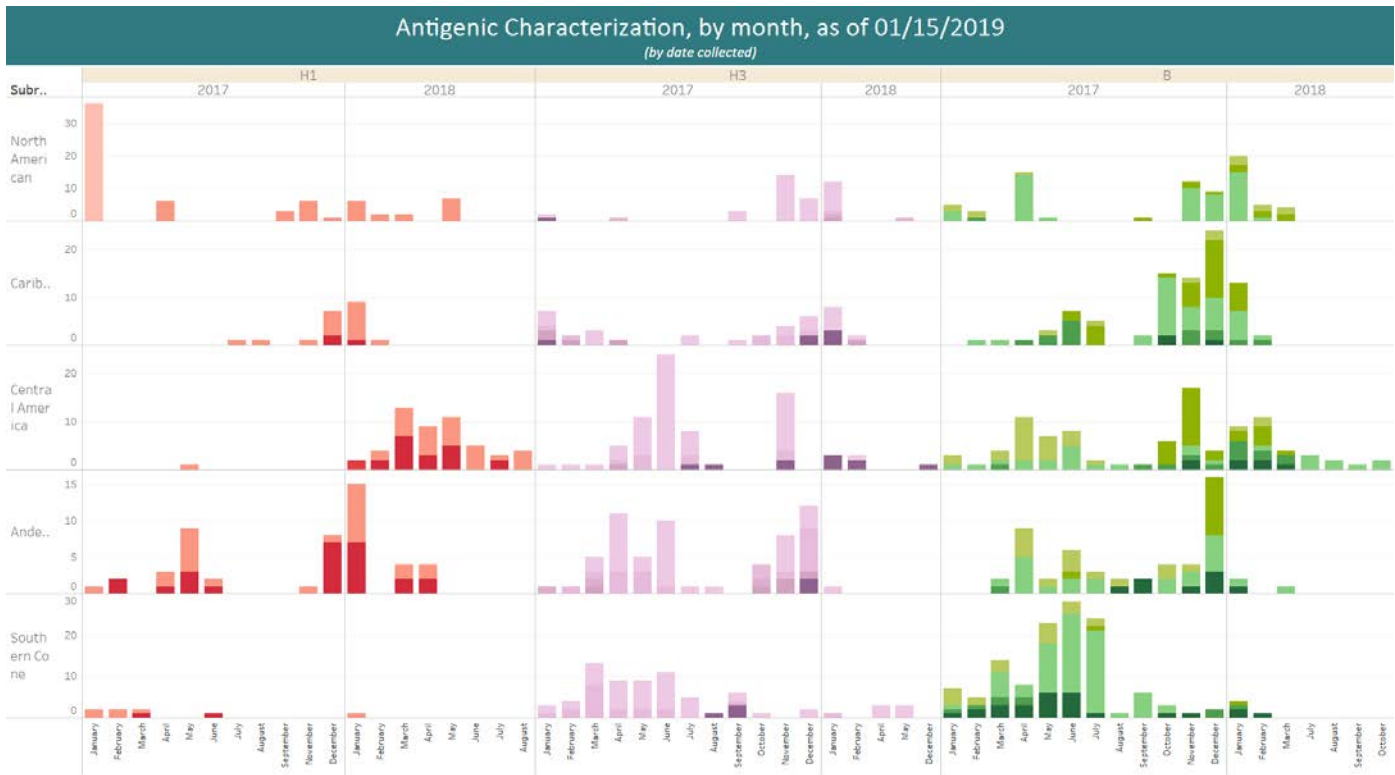
Circulación de virus respiratorio sincitrial (VRS) por subregión, 2014-19



*To view more lab data, view [here](#). / Para ver más datos de laboratorio, vea [aquí](#).

Genetic Characterization of Influenza Virus by Subregion, 2017-18

Caracterización Genética de los Virus Influenza por Subregión, 2017-18



Sum of Number of Records for each Date Collected Month broken down by Characterization 1 (GROUPS) and Date Collected Year vs. Subregions. Color shows details about Characterization 1 (GROUPS) and Characterization 1. The data is filtered on ALL COUNTRIES and Date Collected. The ALL COUNTRIES filter keeps 36 of 30 members. The Date Collected filter ranges from 1/2/2017 to 2/15/2019. The view is filtered on Characterization 1 (GROUPS), Characterization 1, Date Collected Year, Date Collected Month and Subregions. The Characterization 1 (GROUPS) filter keeps B, H1 and H3. The Characterization 1 filter keeps 96 of 104 members. The Date Collected Year filter keeps 13 of 13 members. The Date Collected Month filter keeps 13 of 13 members. The Subregions filter keeps Andean, Caribbean, Central America, North American and Southern Cone.

These data are from the WHO –Collaborating Center at the U.S. CDC.
Estos datos son recolectados desde el CC de la OMS en los CDC de EE. UU.



Weekly and cumulative numbers of influenza and other respiratory virus, by country and EW, 2019¹ Números semanales y acumulados de influenza y otros virus respiratorios, por país y SE, 2019²

EW 9, 2019 / SE 9, 2019

| | N muestras | FLUA/H3 | FLU H1N1 | Influenza A non-subtyp. | FLU A NoSubA | B Victoria | B Yamagata | B linaje no determinado | Influenza A (%) | Adenov. | Parainflue. | VSR | % RSV/VSR (+) | Bocavirus | Coronavirus | Metapneum. | Rinovirus | % All Positive Samples |
|---|------------|---------|----------|-------------------------|--------------|------------|------------|-------------------------|-----------------|---------|-------------|-----|---------------|-----------|-------------|------------|-----------|------------------------|
| North America/ América del Norte | Canada | 8,540 | 271 | 198 | 1,189 | | | 63 | 20.2% | | | | | | | | | 20.2% |
| Mexico | | 467 | 40 | 46 | 0 | 10 | 8 | 25 | 14 | 30.6% | 0 | 1 | 0 | 0% | 0 | 0 | 0 | 30.8% |
| Caribbean/ Caribe | Belize | 13 | 0 | 0 | 2 | 0 | 0 | 0 | 1 | 23.1% | 0 | 0 | 0 | 0% | 0 | 0 | 0 | 23.1% |
| Cuba | | 44 | 0 | 4 | 3 | 0 | 0 | 0 | 0 | 15.9% | 0 | 1 | 4 | 9% | 0 | 3 | 0 | 40.9% |
| Cuba IRAG | | 34 | 0 | 3 | 1 | 0 | 0 | 0 | 0 | 11.8% | 0 | 1 | 4 | 12% | 0 | 1 | 0 | 38.2% |
| Dominican Rep.. | | 2 | | 0 | | | | | | 0.0% | | | 1 | | | | | 50.0% |
| Jamaica | | 13 | 0 | 0 | 7 | 0 | 0 | 0 | 1 | 61.5% | 0 | 1 | 0 | 0% | 0 | 0 | 0 | 69.2% |
| Suriname | | 1 | 0 | 0 | 0 | 0 | 0 | 0 | 0 | 0.0% | 0 | 0 | 0 | 0% | 0 | 0 | 0 | 0.0% |
| Central America/ América Central | Costa Rica | 32 | 0 | 1 | 0 | 0 | 0 | 0 | 0 | 3.1% | 1 | 0 | 5 | 16% | | | | 21.9% |
| El Salvador* | | 33 | 0 | 0 | 0 | 0 | 0 | 0 | 0 | 0.0% | 2 | 2 | 3 | 9% | 0 | 0 | 0 | 21.2% |
| Guatemala | | 11 | 3 | 2 | 0 | | | | | 54.5% | 1 | | | | | | | 63.6% |
| Nicaragua | | 111 | | 0 | | | | | | 0.0% | 1 | 3 | | | | | | 3.6% |
| Andean/ Andina | Bolivia | 35 | 2 | 0 | 0 | 0 | 0 | 0 | 0 | 5.7% | 0 | 0 | 6 | 17% | 0 | 0 | 0 | 22.9% |
| Colombia | | 109 | 5 | 3 | 0 | | | | 1 | 8.3% | 3 | 4 | 10 | 9% | 2 | 3 | 1 | 32.1% |
| Ecuador IRAG | | 16 | | 0 | | | | | | 0.0% | | | 5 | 31% | | | | 31.3% |
| Peru | | 42 | 14 | 0 | 0 | 0 | 0 | 0 | 33.3% | 0 | 0 | 1 | 2% | 0 | 0 | 1 | 40.5% | |
| Brazil & Southern Cone/ Brasil y Cono Sur | Brazil | 65 | | 0 | | | | | 2 | 3.0% | | | | | | | | 3.0% |
| Chile IRAG | | 320 | 4 | 4 | 0 | | | | 1 | 2 | 3.4% | 7 | 9 | 3 | 1% | | | 9.4% |
| Paraguay IRAG | | 23 | 0 | 2 | 0 | 0 | 0 | 0 | 0 | 8.7% | 0 | 0 | 1 | 4% | 0 | 0 | 0 | 13.0% |
| Uruguay IRAG | | 6 | | 0 | | | | | | 0.0% | | | | | | | | 0.0% |
| Grand Total | | 9,917 | 339 | 263 | 1,202 | 10 | 8 | 26 | 84 | 19.5% | 15 | 23 | 42 | 0% | 2 | 7 | 2 | 20.5% |

These are the raw numbers provided in the country's FluNet update (Not the smoothed averages)
Estos son los números crudos proporcionados en la actualización FluNet del país (no los promedios suavizados)

***Please note blank cells indicate N/A.
*Por favor notar que las celdulas en blanco indican N/A.**

EW 8, 2019 / SE 8, 2019

"Note: These countries reported in EW 9,2019, but have provided data up to EW 8.

"Nota: Estos países reportaron en la SE 9,2019, pero han enviado los datos hasta la SE 8.

| | N samples/ muestras | Influenza A(H3N2) | Influenza A (H1N1)pm09 | Influenza A No subtipificado | Total Influenza B | Influenza B (%) | Influenza A No determ. | Adenovirus | RSV/VSR | % RSV/VSR (+) | Bocavirus* | Coronavirus* | Metapneumo. | Rinovirus* | Parainfluenza* | % All Positive Samples (+) |
|---|---------------------|-------------------|------------------------|------------------------------|-------------------|-----------------|------------------------|------------|---------|---------------|------------|--------------|-------------|------------|----------------|----------------------------|
| North America/ América del Norte | Mexico | 10,144 | 1,014 | 1,928 | 128 | 720 | 38.7% | 11 | 22 | 0% | 0 | 4 | 4 | 7 | 15 | 39.7% |
| USA | | 267,117 | 7,715 | 5,131 | 33,219 | 17,307 | 23.7% | | | | 0 | 0 | 0 | 0 | 0 | 23.7% |
| Caribbean/ Caribe | Cuba IRAG | 198 | 2 | 4 | 0 | 4 | 5.1% | 3 | 3 | 2% | 1 | 6 | 3 | 35 | 19 | 41.4% |
| French Guiana | | 88 | 12 | 15 | 1 | 20 | 52.3% | | | | 0 | 0 | 0 | 0 | 0 | 52.3% |
| Haiti | | 82 | 1 | 0 | 0 | 0 | 12.2% | 0 | 0 | 0% | 0 | 0 | 0 | 0 | 0 | 1.2% |
| Turks and Caicos | | 0 | | | | | | | | | | | | | | |
| Andean/ Andina | Peru | 519 | 22 | 27 | 7 | 15 | 13.7% | 1 | 25 | 5% | 0 | 0 | 2 | 0 | 8 | 20.6% |
| Brazil & Southern Cone/ Brasil y Cono Sur | Brazil | 1,645 | 122 | 134 | 2 | 41 | 18.4% | 13 | 51 | 3% | 0 | 2 | 30 | 5 | 3 | 24.7% |
| Chile IRAG | | 195 | 3 | 0 | 1 | 0 | 2.1% | 3 | 2 | 1% | 0 | 0 | 0 | 0 | 4 | 6.7% |
| Brasil y Cono Sur | Paraguay IRAG | 273 | 3 | 0 | 0 | 1 | 1.5% | 7 | 39 | 14% | 0 | 0 | 4 | 0 | 1 | 20.1% |
| Uruguay | | 36 | 0 | 0 | 0 | 2 | 5.6% | 2 | 3 | 8% | 0 | 0 | 0 | 0 | 0 | 19.4% |
| Grand Total | | 280,297 | 8,894 | 7,239 | 33,358 | 18,110 | 24.1% | 40 | 145 | 0% | 1 | 12 | 43 | 47 | 50 | 24.3% |

EW 7, 2019 / SE 7, 2019

"Note: These countries reported in EW 9,2019, but have provided data up to EW 8.

"Nota: Estos países reportaron en la SE 9,2019, pero han enviado los datos hasta la SE 8.

| | N samples/ muestras | Influenza A(H3N2) | Influenza A (H1N1)pm09 | Influenza A No subtipificado | Total Influenza B | Influenza B (%) | Influenza A No determ. | Adenovirus | RSV/VSR | % RSV/VSR (+) | Bocavirus* | Coronavirus* | Metapneumo. | Rinovirus* | Parainfluenza* | % All Positive Samples (+) |
|-----------------------------|---------------------|-------------------|------------------------|------------------------------|-------------------|-----------------|------------------------|------------|---------|---------------|------------|--------------|-------------|------------|----------------|----------------------------|
| Brazil & Southe.. Argentina | | 174 | 2 | 0 | 1 | 0 | 17.7% | 6 | 8 | 5% | 0 | 0 | 0 | 0 | 6 | 13.2% |
| Grand Total | | 174 | 2 | 0 | 1 | 0 | 17.7% | 6 | 8 | 5% | 0 | 0 | 0 | 0 | 6 | 13.2% |

* NIC laboratory data only / datos de laboratorio solo del NIC

EW 6 - EW 9, 2019 / SE 6 - SE 9, 2019

"Note: These countries reported in EW 9,2019, but have provided data up to EW 8.

"Nota: Estos países reportaron en la SE 9,2019, pero han enviado los datos hasta la SE 8.

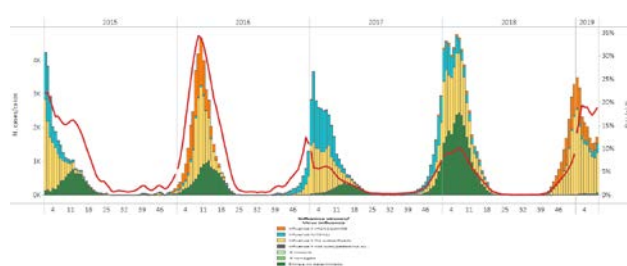
| | N samples/ muestras | Influenza A(H3N2)* | Influenza A (H1N1)pm09* | Influenza A non-subtyp.* | Influenza B Victoria* | Influenza B Yamagata* | Influenza B linaje undeterm.. | Influenza (+)% | Adenoviru.. | Parainflue... | RSV/VSR* | % RSV/VSR (+) | Bocavirus* | Coronavir... | Metapneumo... | Rinovirus* | % All Positive Samples (+) |
|---|---------------------|--------------------|-------------------------|--------------------------|-----------------------|-----------------------|-------------------------------|----------------|-------------|---------------|----------|---------------|------------|--------------|---------------|------------|----------------------------|
| North America/ América del Norte | Canada | 9,552 | 118 | 315 | 1,234 | 0 | 0 | 42 | 17.9% | 0 | 0 | 0 | 0 | 0 | 0 | 0 | 17.9% |
| America del Norte USA | | 1,193 | 19 | 284 | 0 | 17 | 24 | 14 | 31.5% | 0 | 8 | 9 | 0.8% | 0 | 1 | 2 | 33.5% |
| Caribbean/ Caribe | Aruba | 6 | 0 | 5 | 0 | 0 | 0 | 0 | 83.3% | 0 | 0 | 1 | 16.7% | 0 | 0 | 0 | 100.0% |
| Belize | | 8 | 0 | 0 | 1 | 0 | 0 | 0 | 12.5% | 0 | 0 | 0 | 0.0% | 0 | 0 | 0 | 12.5% |
| CARPHA | | 16 | 0 | 5 | 0 | 0 | 0 | 0 | 31.3% | 0 | 0 | 1 | 6.3% | 0 | 0 | 0 | 37.5% |
| Cuba | | 39 | 0 | 1 | 0 | 0 | 0 | 0 | 2.6% | 0 | 0 | 7 | 17.9% | 0 | 3 | 0 | 38.5% |
| Cuba IRAG | | 26 | 0 | 1 | 0 | 0 | 0 | 0 | 3.8% | 0 | 0 | 7 | 26.9% | 0 | 2 | 0 | 46.2% |
| Dominican Rep.. | | 14 | 0 | 0 | 0 | 0 | 0 | 0 | 0.0% | 0 | 0 | 0 | 0 | 0 | 0 | 0 | 0.0% |
| French Guiana | | 10 | 3 | 1 | 0 | 0 | 0 | 0 | 40.0% | 0 | 0 | 0 | 0 | 0 | 0 | 0 | 40.0% |
| Jamaica | | 28 | 1 | 12 | 5 | 0 | 0 | 0 | 64.3% | 0 | 0 | 1 | 3.6% | 0 | 0 | 0 | 67.9% |
| Suriname | | 63 | 0 | 26 | 0 | 0 | 0 | 0 | 41.3% | 0 | 0 | 1 | 1.6% | 0 | 0 | 0 | 42.9% |
| Trinidad and To.. | | 10 | 0 | 0 | 0 | 0 | 0 | 0 | 0.0% | 0 | 0 | 0 | 0 | 0 | 0 | 0 | 0.0% |
| Central America/ América Central | Costa Rica | 50 | 1 | 4 | 0 | 0 | 0 | 1 | 12.0% | 2 | 3 | 2 | 4.0% | 0 | 0 | 0 | 26.0% |
| El Salvador | | 26 | 0 | 0 | 0 | 0 | 0 | 0 | 0.0% | 0 | 0 | 1 | 3.8% | 0 | 0 | 0 | 3.8% |
| El Salvador* | | 22 | 0 | 0 | 0 | 0 | 0 | 0 | 0.0% | 1 | 0 | 1 | 4.5% | 0 | 0 | 0 | 9.1% |
| Guatemala | | 23 | 1 | 2 | 1 | 0 | 2 | 0 | 34.8% | 0 | 0 | 0 | 0 | 0 | 2 | 0 | 43.5% |
| Honduras | | 39 | 2 | 0 | 0 | 0 | 0 | 1 | 7.7% | 0 | 0 | 5 | 12.8% | 0 | 0 | 0 | 20.5% |
| Nicaragua | | 110 | 0 | 0 | 0 | 0 | 0 | 6 | 5.5% | 0 | 4 | 0 | 0 | 0 | 0 | 0 | 9.1% |
| Panama | | 36 | 0 | 0 | 0 | 0 | 0 | 0 | 0.0% | 5 | 3 | 2 | 5.6% | 0 | 1 | 0 | 58.3% |
| Andean/ Andina | Bolivia | 81 | 9 | 0 | 0 | 0 | 0 | 0 | 11.1% | 1 | 0 | 11 | 13.6% | 0 | 0 | 0 | 25.9% |
| Colombia | | 116 | 7 | 4 | 0 | 0 | 0 | 1 | 10.3% | 4 | 4 | 14 | 12.1% | 1 | 2 | 1 | 35.3% |
| Ecuador IRAG | | 88 | 10 | 1 | 0 | 0 | 0 | 0 | 12.5% | 0 | 1 | 9 | 10.2% | 0 | 0 | 0 | 23.9% |
| Peru | | 52 | 14 | 0 | 0 | 0 | 0 | 0 | 26.9% | 0 | 0 | 0 | 0.0% | 0 | 0 | 0 | 26.9% |
| Venezuela | | 2 | 0 | 0 | 0 | 0 | 0 | 0 | 0.0% | 0 | 0 | 0 | 0.0% | 0 | 0 | 0 | 0.0% |
| Brazil & Southern Cone/ Brasil y Cono Sur | Argentina | 234 | 2 | 0 | 1 | 0 | 0 | 1 | 1.7% | 3 | 7 | 29 | 12.4% | 0 | 0 | 0 | 18.4% |
| Brazil | | 167 | 4 | 14 | 0 | 0 | 0 | 6 | 14.4% | 2 | 2 | 8 | 4.8% | 0 | 0 | 1 | 23.4% |
| Chile | | 334 | 1 | 2 | 1 | 0 | 4 | 1 | 2.7% | 10 | 10 | 7 | 2.1% | 0 | 0 | 0 | 10.8% |
| Chile IRAG | | 12 | 0 | 0 | 0 | 0 | 0 | 0 | 0.0% | 0 | 0 | 3 | 25.0% | 0 | 0 | 0 | 25.0% |
| Paraguay | | 59 | 0 | 2 | 0 | 0 | 0 | 0 | 3.4% | 0 | 0 | 8 | 13.6% | 0 | 0 | 0 | 16.9% |
| Paraguay IRAG | | 60 | 0 | 0 | 0 | 0 | 0 | 0 | 0.0% | 1 | 0 | 6 | 10.0% | 0 | 0 | 0 | 11.7% |
| Uruguay IRAG | | 2 | 0 | 0 | 0 | 0 | 0 | 0 | 0.0% | 0 | 0 | 0 | 0 | 0 | 0 | 0 | 0.0% |
| Grand Total | | 67,914 | 1,086 | 2,195 | 13,734 | 29 | 36 | 480 | 25.9% | 29 | 42 | 133 | 0.2% | 1 | 9 | 6 | 23.2% |

North America / América del Norte

Canada / Canadá

- In EW 9, the percentage of ILI visits increased compared to previous weeks and was low compared to previous seasons (Graph 2). During EW 9, most regions (30) reported sporadic influenza activity: B.C.(5), Alta.(4), Sask.(2), Ont.(1), Que.(4), N.B.(5), N.L.(1), P.E.I.(1), N.S.(1), Nvt.(3), Y.T.(1) and N.W.T.(2); 16 regions reported localized activity: Alta.(1), Ont.(6), Que.(2), N.S.(3), N.L.(2) and N.B.(2), and two regions: N.L.(1) and Sask.(1) reported no activity (Graph 3). Influenza A (H1N1)pdm09 predominated among the influenza detections although influenza A(H3N2) has increased since EW3, 2019 (Graph 1). RSV positivity decreased; the predominance of coronavirus, enterovirus/rhinovirus continues among the other respiratory viruses (Graph 4). In EW 9, pediatric hospitalizations decreased and was below the average number of hospitalizations from previous seasons (2010-11 to 2017-18) (Graph 5). As of EW9, 2019, a total of 964 pediatric hospitalizations were reported, 98% of all cases were associated with influenza A, with 69% of cases among children under 5 years-of age; 167 pediatric ICU admissions were reported as well, 106 (63%) were among children under 5 years of age. The number of pediatric deaths (10), all associated with influenza A, remained the same since EW 3. A greater proportion of hospitalizations was reported among adults ≥ 65 years of age (58%) compared to adults < 65 years of age (42%). The most common reported comorbidity among adults was endocrine disorders. / En la SE 9, el porcentaje de consultas por ETI aumentó comparado con las semanas previas y menor comparado con las temporadas previas (Gráfico 2). Durante la SE 9, la mayoría de las regiones (30) reportaron una actividad esporádica de la influenza: B.C.(5), Alta.(4), Sask.(2), Ont.(1), Que.(4), N.B.(5), N.L.(1), P.E.I.(1), N.S.(1), Nvt.(3), Y.T.(1) y N.W.T.(2); (16) reportaron actividad localizada: Alta.(1), Ont.(6), Que.(2), N.S.(3), N.L.(2) y N.B.(2), mientras que dos regiones: N.L.(1) y Sask.(1) no reportaron actividad alguna (Gráfico 3). Entre las detecciones de influenza, influenza A(H1N1)pdm09 ha predominado; sin embargo, desde la SE3 influenza A(H3N2) ha aumentado en las detecciones. La positividad de VRS disminuyó; entre los otros virus respiratorios el coronavirus y enterovirus/rinovirus continúa su predominancia (Gráfico 4). En la SE 9, las hospitalizaciones pediátricas disminuyeron y estuvieron por debajo del promedio de hospitalizaciones de temporadas anteriores (2010-11 a 2017-18) (Gráfico 5). Hasta la SE 9, de 2019 se reportaron un total de 964 hospitalizaciones pediátricas, 98% de todos los casos asociados con la influenza A y el 69% ocurrió en niños menores de 5 años; al igual que se reportaron 167 admisiones pediátricas a la UCI, 106 (63%) entre los menores de 5 años. El número de muertes pediátricas (10) continuó igual desde la SE 3. Se reportó una mayor proporción de hospitalizaciones en los ≥ 65 años (58%) en comparación con los adultos < 65 años (42%). La comorbilidad más reportada en los adultos fueron los trastornos endocrinos.

Graph 1. Canada: Influenza virus distribution by EW, 2015-19, EW 9 /
Distribución de virus de influenza por SE, 2015-19. SE 9



Graph 3. Canada: Influenza activity by provincial and territorial influenza surveillance regions, 2017-2018, EW 9, 2019.
Actividad de influenza por regiones de vigilancia de influenza provinciales y territoriales, 2017-2018, SE 8, 2019.



Graph 2. Canada: Percentage of ILI visits by sentinel sites, EW 9, 2019 (in comparison to 2013-2018 seasons)

Porcentaje de casos de ETI por sitio centinela , SE 9, 2019 (en comparación con temporadas 2013-2018)

Figure 4 - Percentage of visits for ILI reported by sentinel sites By report week, Canada, weeks 2013-35 to 2019-09

Number of Sentinels Reporting in Week 09: 84

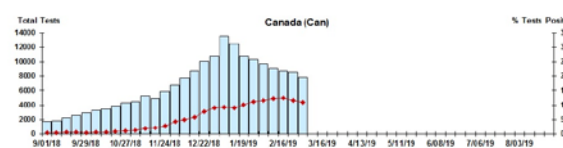
= Percentage of visits for ILI, five-year average (2013-14 to 2017-18)
— Percentage of visits for ILI, 2018-19

The shaded area represents the maximum and minimum percentage of visits for ILI reported by week from seasons 2013-14 to 2017-18

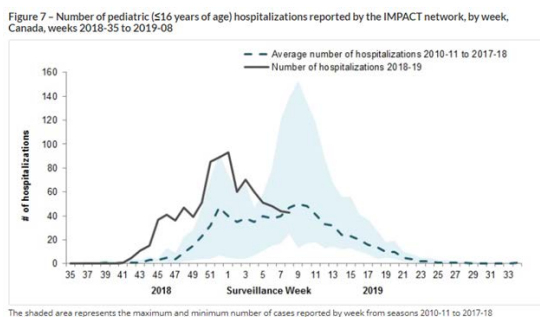
— Surveillance Week 2018 2019

Graph 4. Canada: RSV distribution by EW, EW 9, 2019. /
Distribución de VSR por SE, SE 9, 2019.

Figure 3: Positive Respiratory syncytial virus (RSV) Tests (%) in Canada by Region by Week of Report



Graph 5. Canada: Number of pediatric hospitalizations (≤ 16 years old) by EW, EW 35, 2018 to EW 9, 2019. /
Número de hospitalizaciones pediátricas (≤ 16 años) por SE, SE 35 2018 a SE 9, 2019

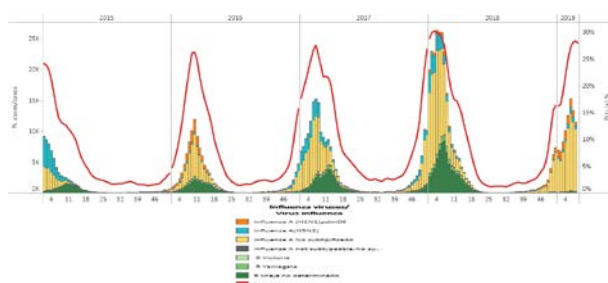


*To view more epi data, view [here](#). / Para ver más datos epi, vea [aquí](#).

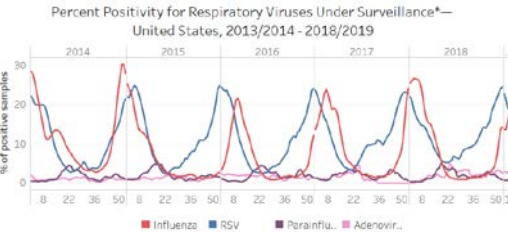
United States / Estados Unidos

- In EW 9, ILI activity at the national level decreased slightly to 4.7% and remained above the national baseline. All 10 regions reported a percentage of ILI at or above their region-specific baseline level and ranged from 3.3% to 9.3% during this EW9 (Graph 4). High level activity of ILI was reported by 32 states (Alabama, Alaska, Arizona, Arkansas, Colorado, Connecticut, Georgia, Illinois, Indiana, Iowa, Kansas, Kentucky, Louisiana, Mississippi, Missouri, Montana, Nevada, New Jersey, New Mexico, New York, North Carolina, North Dakota, Oklahoma, Oregon, Pennsylvania, Rhode Island, South Carolina, Texas, Utah, Virginia, West Virginia, and Wyoming) (Graph 5). Influenza detections increased slightly during EW 5, while RSV activity remained elevated in recent weeks, although the trend is to decrease. Influenza A(H1N1)pdm09, influenza A(H3N2) and B co-circulated in EW 9 (Graph 1,2). Nine influenza-associated pediatric deaths were reported to CDC during EW 9; 7.5% of the deaths occurring during EW 8 were due to pneumonia and influenza. This percentage was above the epidemic threshold of 7.3% for EW 8. (Graph 3). The highest rate of hospitalization was among adults aged ≥ 65 (107.7 per 100,000 population), followed by children aged 0-4 (49.3 per 100,000 population) (Graph 6). / En la SE 9, la actividad de ETI a nivel nacional disminuyó ligeramente a 4.7% y se mantuvo por encima de la línea basal nacional. Todas las 10 regiones reportaron casos de ETI en la línea de base específica para cada región o sobre esta y tuvo un rango entre 3,3% y 9,3% (Gráfico 4). Se reportó un nivel alto de actividad de la ETI en 32 estados: (Alabama, Alaska, Arizona, Arkansas, Colorado, Connecticut, Georgia, Illinois, Indiana, Iowa, Kansas, Kentucky, Luisiana, Mississippi, Missouri, Montana, Nevada, Nueva Jersey, Nuevo México, Nueva York, Carolina del Norte, Dakota del Norte, Oklahoma, Oregón, Pennsylvania, Rhode Island, Carolina del Sur, Texas, Utah, Virginia, Virginia Occidental y Wyoming) (Gráfico 5). Las detecciones de influenza aumentaron ligeramente durante la SE 5, en tanto la actividad de VRS permaneció elevada en semanas recientes, aunque con tendencia a disminuir. Influenza A(H1N1)pdm09, influenza A(H3N2) e influenza B, circularon simultáneamente en la SE 9 (Gráfico 1,2). A los CDC se reportaron 9 muertes pediátricas asociadas a influenza durante la SE 9; 7,5% de las muertes que ocurrieron en la SE 8 fueron por neumonía e influenza. Este porcentaje estuvo por encima del umbral epidémico de 7,3% para la SE 8. (Gráfica 3). La tasa más alta de hospitalización se presentó en los adultos ≥ 65 años 107,7 x 100.000 hab.), seguida por la de los niños de 0-4 años (49,3 x 100.000 hab.) (Gráfica 6).

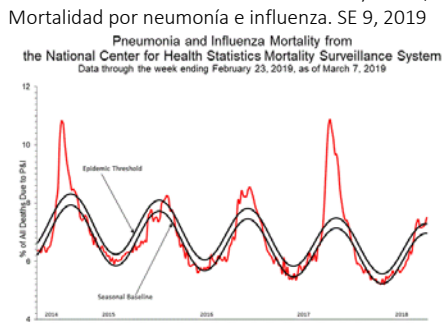
Graph 1. US: Influenza virus distribution by EW 9, 2015-19
Distribución de virus de influenza por SE 9, 2015-19



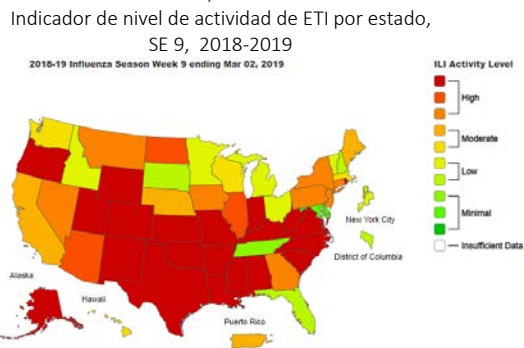
Graph 2. US: Percent positivity for respiratory virus EW 5
Porcentaje de positividad para virus respiratorios, por SE 5,
2013/14 - 2018/19



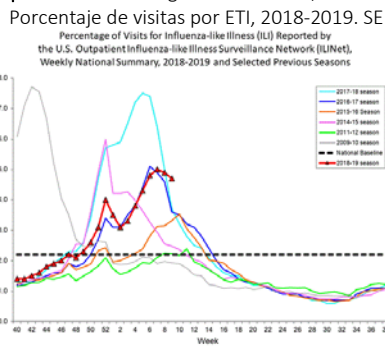
Graph 3. US: Pneumonia and influenza mortality. EW 9, 2019



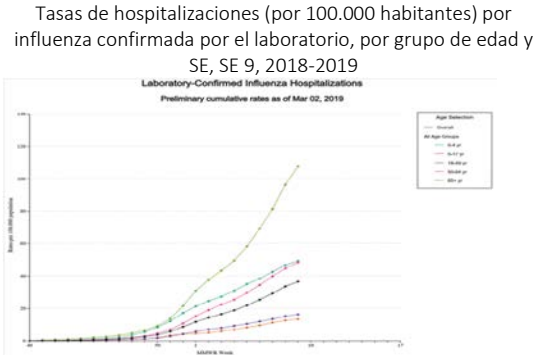
Graph 5. US: ILI activity level indicator determined by state, EW 9, 2018-2019



Graph 4. US: Percentage of visits for ILI, 2018-2019. EW 9



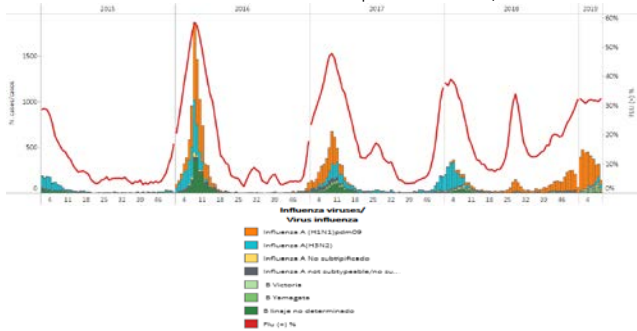
Graph 6. US: Laboratory-confirmed influenza hospitalizations rates (per 100000 population) by age group and W, EW 9, 2018-2019



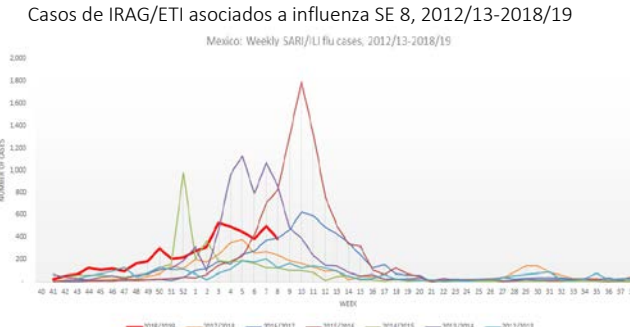
Mexico

- During EW 10, influenza activity continued elevated with influenza A(H1N1)pdm09 predominating, followed by influenza A(H3N2). RSV activity decreased during last weeks (Graphs 1,2). Up to EW 8, influenza-associated SARI/ILI counts decreased compared with previous weeks but remain slightly higher compared with most other seasons (Graph 3); 627 influenza-associated SARI/ILI deaths were reported predominating in Mexico State, Hidalgo, Mexico City, Puebla and Guanajuato (Graph 6). During EW 10, the states with higher cumulative incidence rates among influenza confirmed cases were Tlaxcala (18.8), Aguascalientes (14.1), Baja California Sur (13.8), Zacatecas (12.1) and Hidalgo (8.8). High influenza mortality rates were reported in Hidalgo (2.17), Zacatecas (1.69), Tlaxcala (1.62), Baja California Sur (1.41) and Durango (1.24). During EW 10, 5626 cumulative influenza-associated SARI/ILI cases were reported, predominating in Mexico City, Mexico State, Hidalgo, Oaxaca, and Tlaxcala (Graph 5). / Durante la SE 9, la actividad de influenza continuó elevada con predominio de influenza A(H1N1)pdm09, seguida por influenza A(H3N2). La actividad de VRS disminuyó en las últimas semanas (Gráficos 1,2). Hasta la SE 8, los conteos de IRAG/ETI asociados a influenza disminuyeron comparados con las semanas anteriores y permanecieron ligeramente superiores a los niveles observados durante la mayoría de las temporadas anteriores (Gráfico 3); se reportaron 627 fallecimientos por IRAG/ETI asociados a influenza con relación a las temporadas anteriores para el mismo período; la mayoría ocurrieron en el Estado de México, Ciudad de México, Puebla y Guanajuato (Gráfico 6). En la SE 10, los estados con mayores tasas de incidencia acumulada (por 100.000 hab.) de casos de influenza confirmados fueron Tlaxcala (18.8), Aguascalientes (14.1), Baja California Sur (13.8), Zacatecas (12.1) e Hidalgo (8.8). Los que reportaron mayores tasas de mortalidad fueron: Hidalgo (2.17), Zacatecas (1.69), Tlaxcala (1.62), Baja California Sur (1.41) y Durango (1.24) En la SE 10, se reportaron 5.626 casos acumulados de IRAG/ETI asociados a influenza con predominio en la Ciudad de México, Estado de México, Oaxaca, Hidalgo, Oaxaca y Tlaxcala (Gráfico 5).

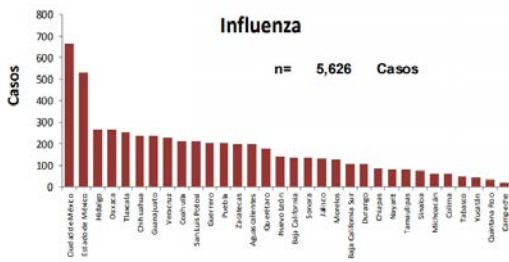
Graph 1. Mexico: Influenza virus distribution by EW 2015-19, EW 10
Distribución de virus influenza por SE 2015-19, SE 10



Graph 3. Mexico: Influenza-associated SARI/ILI cases EW 8, 2012/13-2018/19

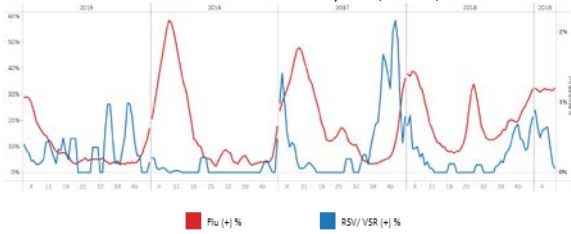


Graph 5. Mexico: SARI/ILI-influenza cases EW 10, 2018/19
Casos de IRAG/ETI asociados a influenza SE 10, 2018/19



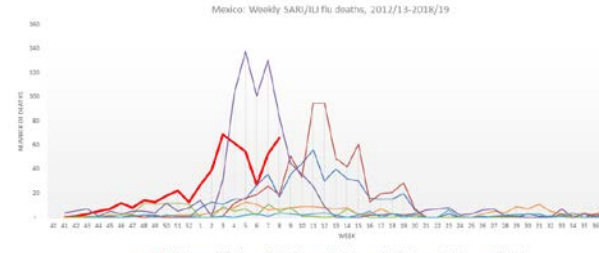
*To view more epi data, view [here](#). / Para ver más datos epi, vea [aquí](#).

Graph 2. Mexico: Influenza and RSV distribution, EW 10, 2015-19
Distribución de virus influenza y VRS, SE 10, 2015-19

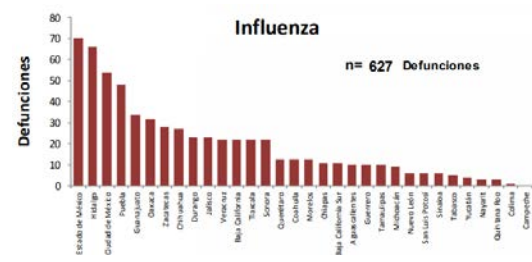


Graph 4. Mexico: Influenza-associated SARI/ILI deaths EW 8, 2012/13-2018/19

Casos fallecidos por IRAG/ETI asociados a Influenza SE 8, 2012/13-2018/19



Graph 6. Mexico: SARI/ILI-influenza deaths EW 10, 2018/19
Casos fallecidos por IRAG/ETI asociados a Influenza SE 10, 2018/19

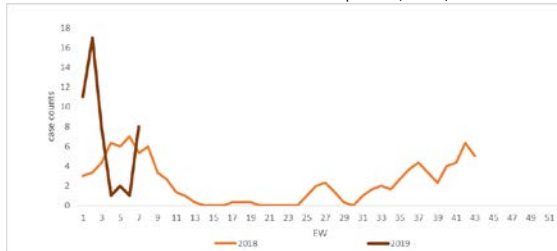


Caribbean / Caribe

Aruba

- During EW 8, 2019, SARI activity increased and surpassed the levels observed in the 2018 season for the same period (Graph 1). / En la SE 8 de 2019 la actividad de IRAG aumentó y sobrepasó los niveles de la temporada 2018 para el mismo periodo (Gráfico 1).

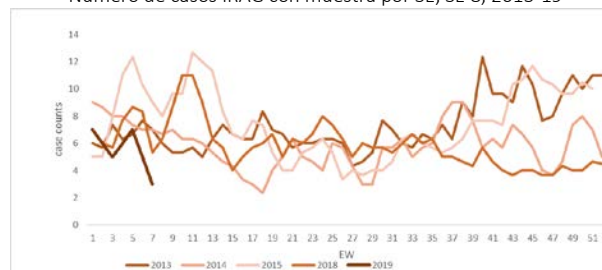
Graph 1. Aruba: Number of SARI cases with samples by EW, EW 8, 2018-2019,
Número de casos IRAG con muestra por SE, SE 8, 2018-2019



Barbados

- As of EW 8, the decreased SARI activity was below the levels observed in the 2013-2018 seasons for the same period (Graph 1). / Hasta la SE 8, la actividad de IRAG disminuyó y se ubicó por debajo de los niveles observados en las temporadas 2013-2018 para el mismo período (Gráfico 1).

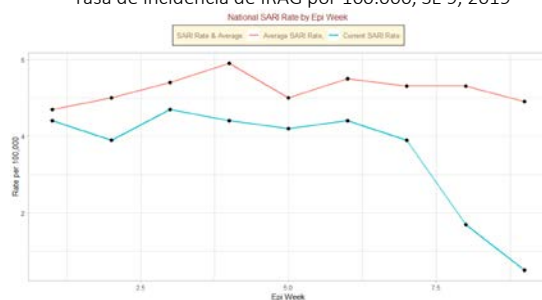
Graph 1. Barbados: Number of SARI cases with samples by EW, EW 8, 2013-19
Número de casos IRAG con muestra por SE, SE 8, 2013-19



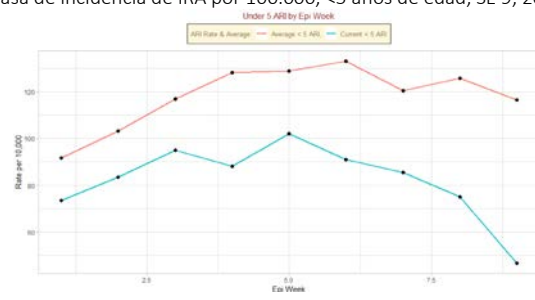
Belize/ Belice

- During EW 9, decreased SARI activity was reported (Graph 1), as compared to the previous five seasons' average. In EW 9, the ARI incidence rate among children <5 years of age was lower than the previous seasons for the same period (Graph 2). / Durante la SE 9, se reportó un descenso en la actividad de IRAG (Gráfico 1), en comparación con el promedio de las cinco temporadas previas. En la SE 9, la incidencia de IRA entre los niños <5 años fue menor que en las temporadas previas para el mismo período (Gráfico 2). En la SE 9, actividad de influenza baja y con aumento ligero en comparación con semanas previas, con la circulación de influenza A e influenza B en las últimas semanas (Gráfico 3).

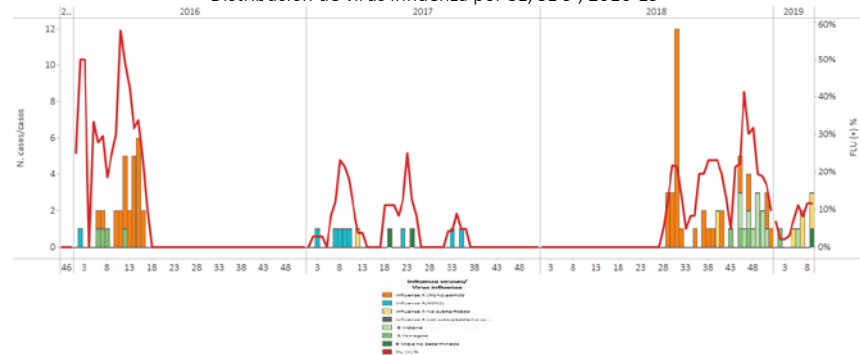
Graph 1. Belize: SARI incidence rate per 100,000, EW 9, 2019
Tasa de incidencia de IRAG por 100.000, SE 9, 2019



Graph 2. Belize: ARI incidence rate per 100,000, <5 years old, EW 9, 2019
Tasa de incidencia de IRA por 100.000, <5 años de edad, SE 9, 2019



Graph 3. Belize. Influenza virus distribution EW, EW 9, 2016-19
Distribución de virus influenza por SE, SE 9, 2016-19

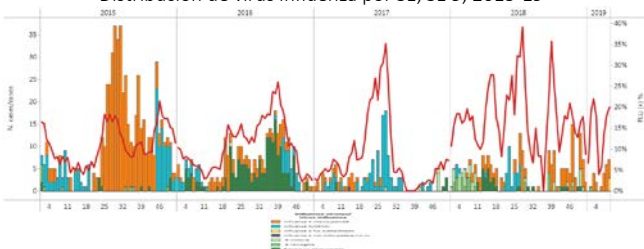


*To view more epi data, view [here](#). / Para ver más datos epi, vea [aquí](#).

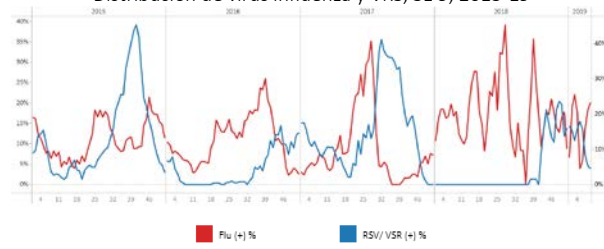
Cuba

- During EW 9, increased influenza detections was reported with influenza A(H1N1)pdm09 circulating (Graph 1); RSV circulation decreased since EW 4, 2019 (Graph 2). In EW 9, SARI case counts increased but remained lower than in previous seasons for the same period (Graph 3). / Durante la SE 9, se reportó mayores detecciones de influenza, con circulación de influenza A (Gráfico 1), mientras que la circulación de VRS continuó en descenso desde la SE 4, 2019 (Gráfico 2). En la SE 9, el recuento de casos de IRAG continuó en disminución y permanecieron por debajo de los niveles de temporadas previas para el mismo período, con predominio de influenza A (Gráficos 1, 3).

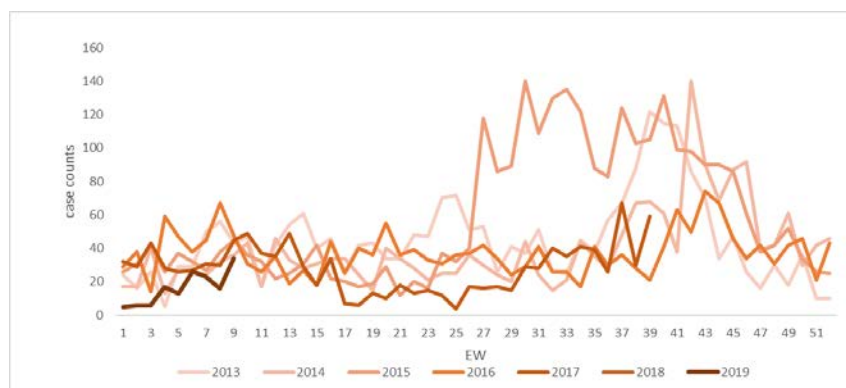
Graph 1. Cuba: Influenza virus distribution by EW, EW 9, 2015-19
Distribución de virus influenza por SE, SE 9, 2015-19



Graph 2. Cuba Influenza and RSV distribution, EW 9, 2015-19
Distribución de virus influenza y VRS, SE 9, 2015-19



Graph 3. Cuba: Number of SARI cases with samples by EW, EW 9, 2013-2019
Número de casos de IRAG con muestras, por SE, SE 9, 2013-2019

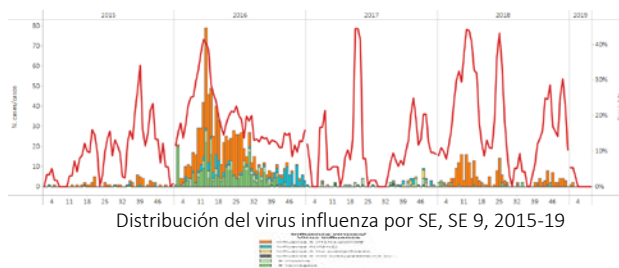


*To view more epi data, view [here](#). / Para ver más datos epi, vea [aquí](#).

Dominican Republic / República Dominicana

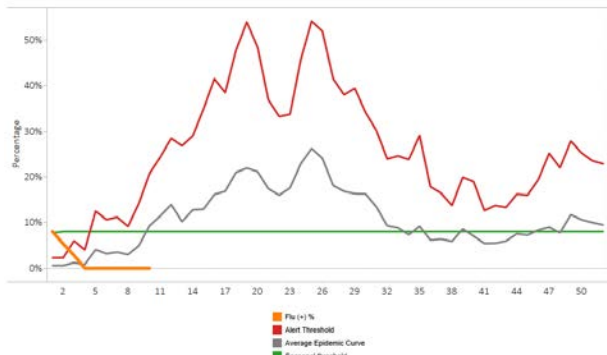
- From EW 3 to EW 9, no influenza activity has been reported (Graphs 1,3), likewise, no RSV detections have been reported (Graph 2). During EW 8, the number of SARI cases decreased from previous weeks (Graph 4), with a similar proportion of influenza and RSV positive samples. The SARI and influenza-associated SARI cases predominated among the <5 years old. / Desde la SE 3 a la SE 9, no se ha reportado actividad de influenza (Gráficos 1,3), de igual manera no se ha reportado actividad del VRS (Gráfico 2). Durante la SE 8, el número de casos de IRAG disminuyó con relación a las semanas previas (Gráfico 4), con una proporción similar de muestras positivas para influenza y VSR. Los casos de IRAG y los casos de IRAG asociados a influenza predominaron en los <5 años.

Graph 1. Dominican Republic: Influenza virus distribution by EW, EW 9, 2015-19

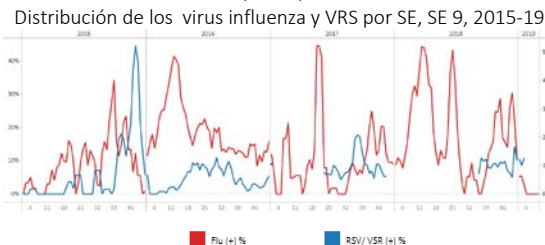


Graph 3. Dominican Republic: Percent positivity for influenza, EW 9, 2019 (in comparison to 2010-2018)

Porcentaje de positividad de influenza, SE 9, 2019
(en comparación a 2010-2018)

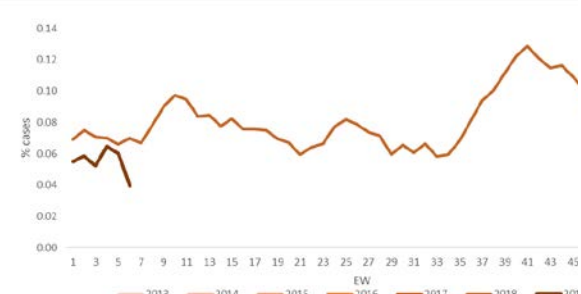


Graph 2. Dominican Republic Influenza and RSV distribution by EW, EW 9, 2015-19



Graph 4. Dominican Republic: Number of SARI cases that were sampled, by EW, EW 7, 2018-19

Numero de casos de IRAG con muestra by EW, EW 7, 2018-19



*To view more epi data, view [here](#). / Para ver más datos epi, vea [aquí](#).

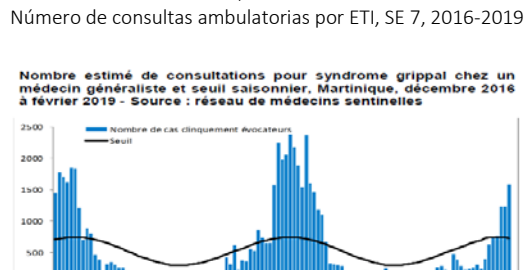
French Territories / Territorios Franceses

- During EW 8, 2019, bronchiolitis consultations decreased below the levels observed during 2016-18 seasons for the same period in Guadeloupe, after a peak in EW 43 (Graph 1). In EW 8, ILI case counts remained at similar levels as observed in recent weeks (1,000 cases) (Graph 2). As of EW 8, in Martinique, ILI activity has increased during last five weeks (Graph 3). In Saint- Barthélemy, the number of ILI reported in EW 7 is low and returns to below the seasonal threshold; likewise, bronchiolitis consultations decreased since EW 3 to 1-3 consultations per week (Graphs 4, 5). During EW 7, in Saint-Martin, ILI activity increased in recent weeks (Graph 6). / Durante la SE 8 de 2019, las consultas por bronquiolitis disminuyeron por debajo de los niveles observados durante las temporadas 2016-18 para el período en Guadalupe, luego de un pico en la SE 43 (Gráfico 1). En la SE 8, el recuento de casos de ETI permaneció a niveles similares a los observados en semanas previas (1.000 casos) (Grafico 2). En la SE 8, en Martinica, la actividad de las ETI aumentó en las últimas cinco semanas (Gráfico 3). En San Bartolomé, el número de casos de ETI reportados en la SE 7 fue bajo y regresó a niveles por debajo del umbral estacional; de igual forma, las consultas por bronquiolitis disminuyeron desde la SE 3, a 1-3 consultas por semana (Gráficos 4,5). Durante la SE 7, en San Martín, la actividad de ETI aumentó en las recientes semanas (Gráfico 6).

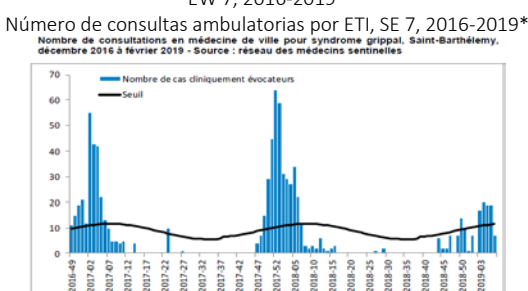
Graph 1. Guadeloupe: Number of bronchiolitis consultations, EW 8, 2016-2019



Graph 3. Martinique: Number of ambulatory consultations for ILI, EW 7, 2016-2019



Graph 5. Saint-Barthélemy: Number of ambulatory consultations for ILI, EW 7, 2016-2019*

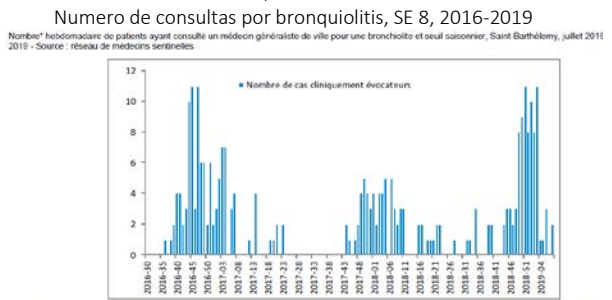


* Note however, that data is incomplete; some general practitioners who could not be contacted

Graph 2. Guadeloupe: Number of ambulatory consultations for ILI, EW 7, 2016-2019



Graph 4 Saint-Barthélemy: Number of bronchiolitis consultations, EW 8, 2016-2019



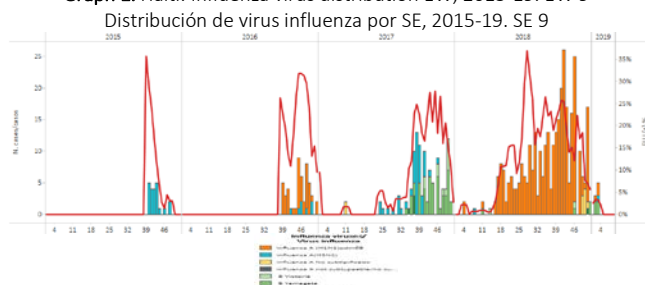
Graph 6 Saint-Martin: Number of ambulatory consultations for ILI, EW 7, 2016-2019



Haiti

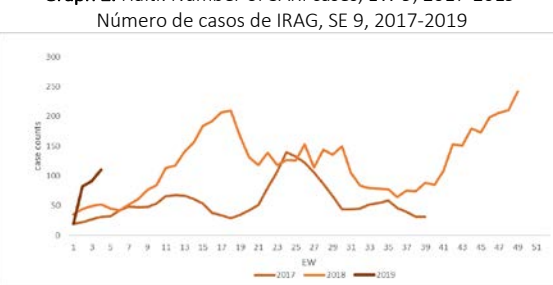
- During EW 9, and in recent weeks, no influenza activity was reported (Graph 1). As of EW 5, the number of SARI hospitalizations increased from previous weeks; and was higher than the levels observed in 2018 for the same period (Graph 2), with most of the cases among the <5 years old infants. / Durante la SE 9 y en semanas previas, no se reportó actividad de influenza (Gráfico 1). Hasta la SE 5, el número de hospitalizaciones por IRAG aumentó respecto a semanas previas; siendo superior a los niveles observados en 2018 para el mismo período (Gráfico 2); con la mayoría de los casos reportaron entre los niños <5 años.

Graph 1. Haiti: Influenza virus distribution EW, 2015-19. EW 9



*To view more epi data, view [here](#). / Para ver más datos epi, vea [aquí](#).

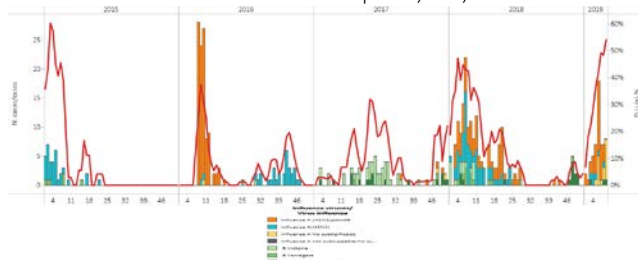
Graph 2. Haiti: Number of SARI cases, EW 9, 2017-2019



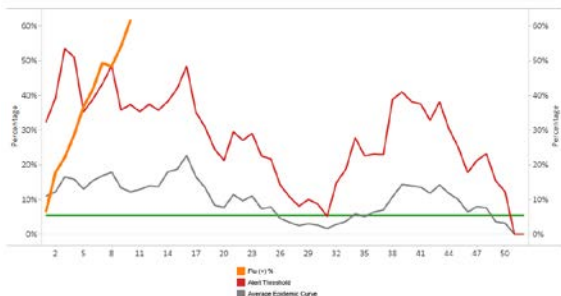
Jamaica

- During EW 9, influenza detections increased as compared with previous weeks, with influenza A(H1N1)pdm09 predominating , co-circulating with influenza B (Graph 1) and remained above the alert threshold (Graph 3). No RSV activity was reported during EW 9 (Graph 2). The number of SARI hospitalizations slightly decreased and was lower than most of the seasons for the same period (Graph 4). ARI case counts were similar from previous weeks and lower than the previous seasons (Graph 5). / Durante la SE 9, la detección de influenza aumentó en comparación con las semanas previas, con predominancia de influenza A(H1N1)pdm09 y circulación simultánea con influenza B (Gráfico 1) y permaneció sobre el umbral de alerta (Gráfico 3). No se reportó actividad del VRS en la SE 9 (Gráfico 2). El recuento de hospitalizaciones por IRAG disminuyó ligeramente y fue menor que en la mayoría de las temporadas para el mismo período (Gráfico 4). Los recuentos de casos de IRA fueron similares a los de la semana previa y menores que en las temporadas anteriores (Gráfico 5).

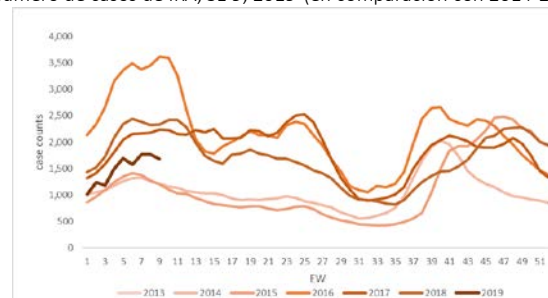
Graph 1. Jamaica: Influenza virus distribution by EW, EW 9, 2015-19
Distribución de virus influenza por SE, SE 9, 2015-19



Graph 3. Jamaica: Percent positivity for influenza, EW 9, 2019
(in comparison to 2010-2018)
Porcentaje de positividad de influenza, SE 9, 2019
(en comparación con 2010-2018)

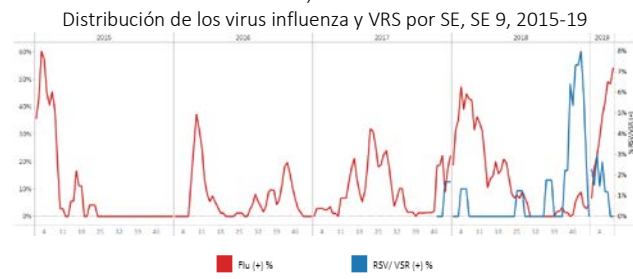


Graph 5. Jamaica: Number of ARI cases, EW 9, 2019 (compared to 2014-2018)
Número de casos de IRA, SE 9, 2019 (en comparación con 2014-2018)

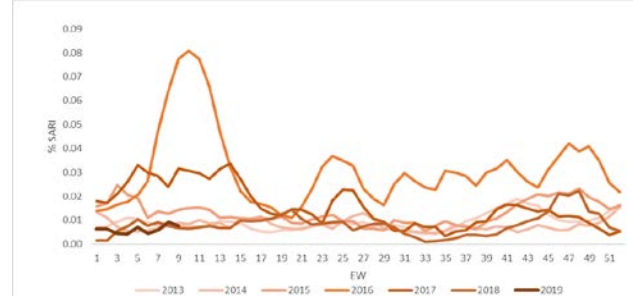


*To view more epi data, view [here](#). / Para ver más datos epi, vea [aquí](#).

Graph 2. Jamaica: Influenza and RSV virus distribution by EW,
EW 9, 2015-19
Distribución de los virus influenza y VRS por SE, SE 9, 2015-19



Graph 4. Jamaica: Number of SARI hospitalizations among total
hospitalizations, EW 9, 2015-2019
Número de hospitalizaciones por IRAG entre el total de
hospitalizaciones, SE 9, 2015-2019

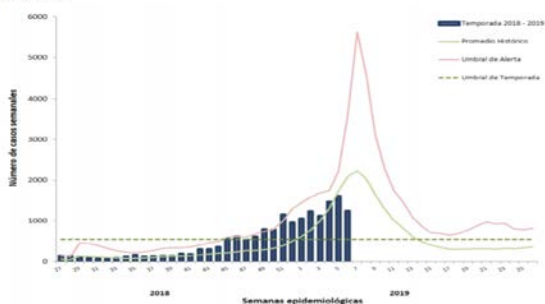


Puerto Rico

- During EW 7, decreased influenza cases detected remained above the seasonal threshold (Graph 1). / Durante la SE 7, disminuyó el número de casos de influenza detectados y permanecen por encima del umbral estacional (Gráfico 1).

Graph 1. Puerto Rico: Influenza-positive cases by EW 7, 2018-19
Casos positivos para influenza SE 7, 2018-19

Gráfica 1. Casos de influenza reportados por semana epidemiológica. Temporada 2018 – 2019.
Puerto Rico

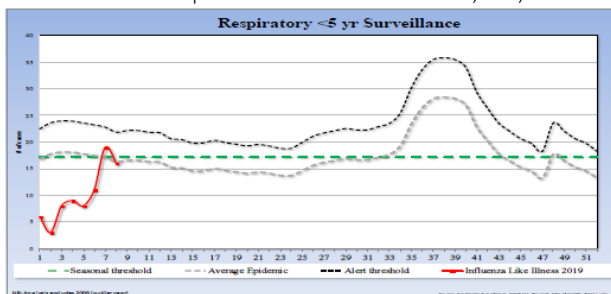


Saint Lucia

- During EW 8, the number of cases with respiratory symptoms among children under 5 years of age decreased below the seasonal threshold (Graph 1). To date, the age group most affected is the 1-4-year age group which accounts for 36.8% of all SARI admissions. / Durante la SE 8, el número de casos con síntomas respiratorios en niños menores de 5 años disminuyó por debajo del umbral estacional (Gráfico 1). Hasta la fecha, el grupo más afectado es el de 1-4 años que contribuyó con el 36,8% de las admisiones por IRAG. 5

Graph 1. Saint Lucia: ILI cases distribution by EW among the < 5 years of age, EW 8, 2014-19

Distribución de ETI por SE entre los <5 años de edad, SE 8, 2014-19

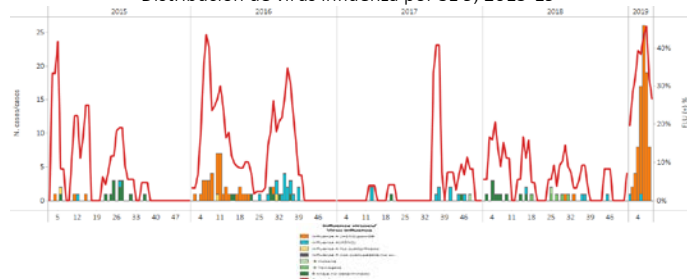


*To view more epi data, view [here](#). / Para ver más datos epi, vea [aquí](#).

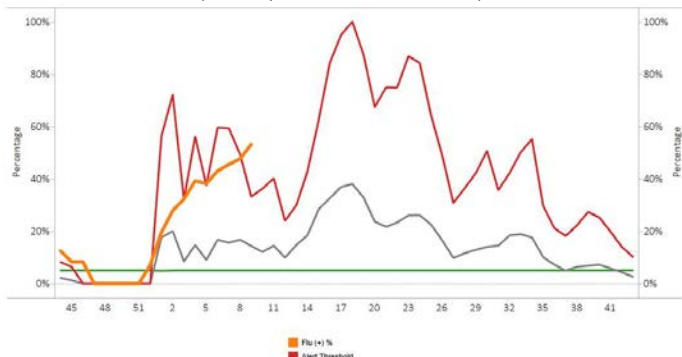
Suriname

- In EW 8, ILI case counts decreased with low activity reported in the last month; SARI-related hospitalizations increased and remained higher than levels observed in previous seasons for the same period (Graphs 4,5). During EW 9, 2019; influenza activity decreased and was below the alert threshold, with influenza A(H1N1)pdm09 predominance (Graphs 1,3); no RSV activity was reported (Graph 2). / En la SE 8, el recuento de casos de ETI disminuyó, con baja actividad en el último mes; las hospitalizaciones por IRAG aumentaron y permanecieron por encima de los niveles observados en las temporadas previas para el mismo período (Gráficos 4,5). En la SE 9, la actividad de influenza disminuyó y por debajo del umbral de alerta, con predominio de influenza A(H1N1)pdm09 (Gráficos 1,3); no se reportó actividad del VRS (Gráfico 2).

Graph 1. Suriname: Influenza virus distribution by EW 9, 2015-19
Distribución de virus influenza por SE 9, 2015-19

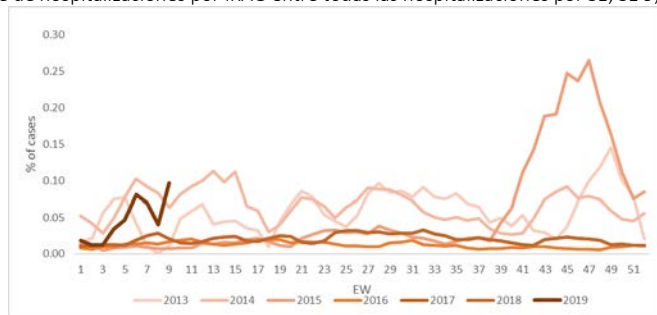


Graph 3. Suriname: Percent positivity for influenza, EW 9, 2019
(in comparision to 2010-2018)
Porcentaje de positividad de influenza, SE 9, 2019
(en comparación con 2010-2018)



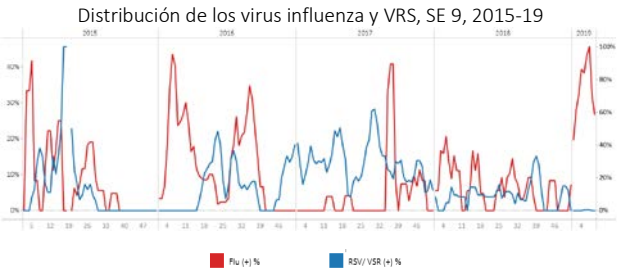
The averaging methodology to determine the alert threshold and epidemic curve references the methodology in the WHO Global Epidemiological Surveillance Standards for Influenza (2014). The influenza percent positivity is calculated using the 3-week averaging method.

Graph 5. Suriname: Percentage of SARI hospitalizations per total hospitalizations, by EW; EW 9, 2013-2019
Porcentaje de hospitalizaciones por IRAG entre todas las hospitalizaciones por SE; SE 9, 2013-2019



*To view more epi data, view [here](#). / Para ver más datos epi, vea [aquí](#).

Graph 2. Suriname: Influenza and RSV distribution, EW 9, 2015-19



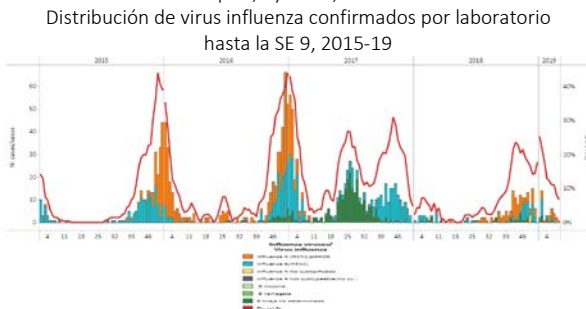
Graph 4. Suriname: Number of ILI cases, by age and EW, EW 8 2019
Número de casos de ETI, por grupo de edad, por SE, SE 8, 2019



Costa Rica

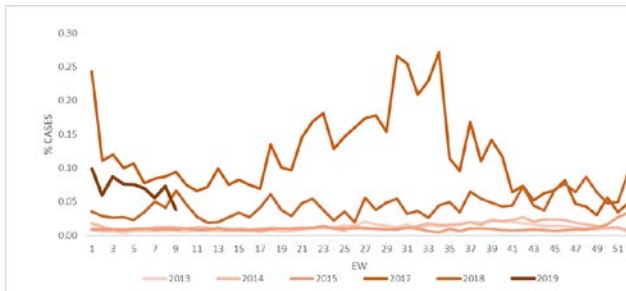
- During EW 9, influenza activity decreased compared to previous weeks, with influenza A(H1N1)pdm09 circulating (Graph 1), and the percentage of positivity for influenza was below the alert threshold (Graph 4). RSV activity increased as compared to previous weeks for the same period during 2015-18 seasons (Graphs 1,2). In EW 9, the percentage of SARI cases (2%) among all hospitalizations were lower than previous weeks (Graph 3). / Durante la SE 9, la actividad de influenza disminuyó en comparación con las semanas previas, con la circulación de influenza A(H1N1)pdm08 (Gráfico 1); el porcentaje de positividad para la influenza estuvo por debajo del umbral de alerta (Gráfico 4). La actividad de VRS aumentó comparada con semanas previas y para el mismo periodo de temporadas anteriores (2015-18) (Gráficos 1,2). En la SE 9, el porcentaje de casos IRAG (2%) entre todas las hospitalizaciones fueron menores en comparación con la semana previa (Gráfico 3).

Graph 1. Costa Rica: Influenza virus distribution, Laboratory confirmed samples, by EW 9, 2015-19



Graph 3. Costa Rica: Proportion of SARI cases of all hospitalizations in reporting sentinel sites by year. Costa Rica, EW 9, 2015-2019

Proporción de casos de IRAG del total de hospitalizaciones en sitios centinela reportado por año. Costa Rica, SE 9, 2015-2019



Graph 2. Costa Rica: Influenza and RSV distribution, EW 9, 2015-19

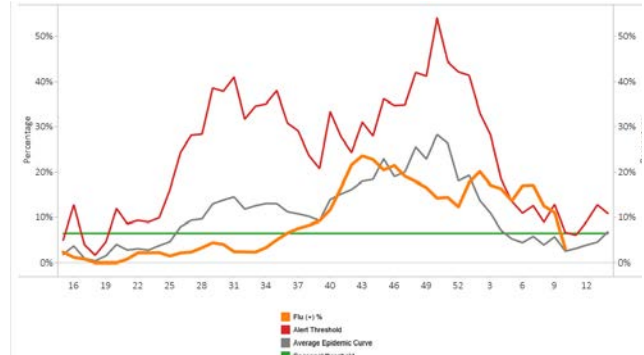
Distribución de los virus influenza y VRS; SE 9, 2015-19



Graph 4. Costa Rica: Percent positivity for influenza, EW 9, 2019 (in comparison to 2010-2018)

Porcentaje de positividad de influenza, SE 9, 2019

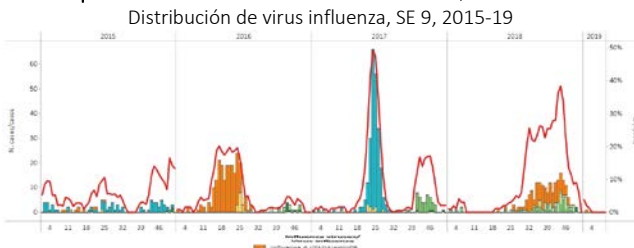
(en comparación con 2010-2018)



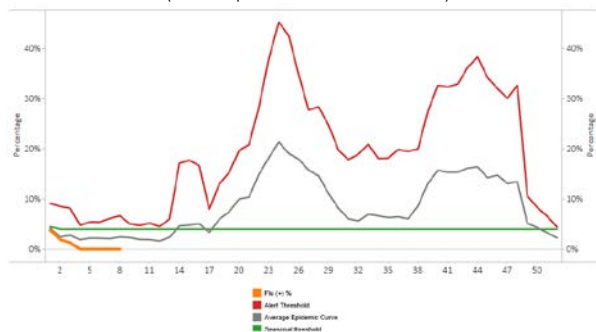
El Salvador

- From EW 3 through EW 9, 2019, no influenza activity was reported (Graphs 1,2,3). Increased RSV detections were reported as compared to previous seasons (Graph 2). The percentage of SARI cases slightly decreased as compared to EW 7 and was over the levels observed in the seasons 2017-18; children < 5 years contributed with 70% of the SARI cases. (Graphs 4,5). Pneumonia case counts (552) decreased from previous weeks and were lower to the levels of the 2017-18 seasons (Graph 5). / Desde la SE 3 hasta la SE 9 de 2019, no se reportó actividad de influenza (Gráficos 1,2,3). Las detecciones de VSR aumentaron con relación a las temporadas previas (Gráfico 2). El porcentaje de casos de IRAG ligeramente disminuyó comparado con la SE 7 y permaneció por encima de los niveles registrados en las temporadas 2017-18; los niños menores de 5 años contribuyeron con el 70% de los casos de IRAG (Gráficos 4,5). Los recuentos de neumonía (552) disminuyeron con relación a las semanas previas, aunque menores que durante la temporada 2017-18 (Gráfico 5).

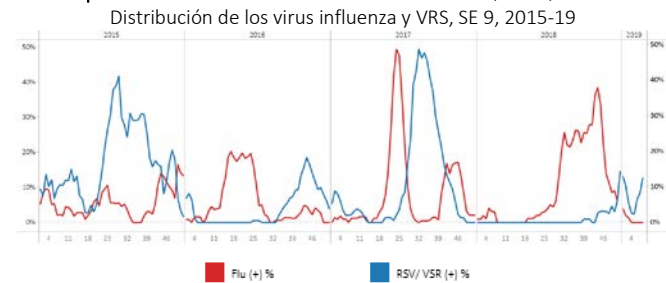
Graph 1. El Salvador: Influenza virus distribution, EW 9 2015-19



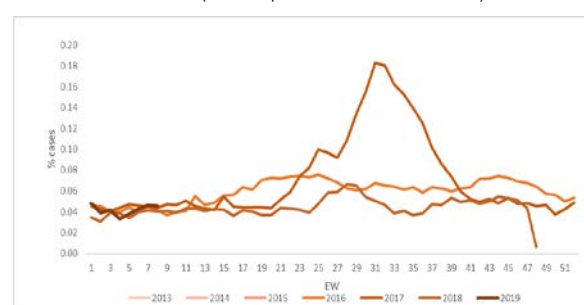
Graph 3. El Salvador: Percent positivity for influenza, EW 9, 2019 (in comparision to 2010-2018)
Porcentaje de positividad de influenza, SE 9, 2019
(en comparación con 2010-2018)



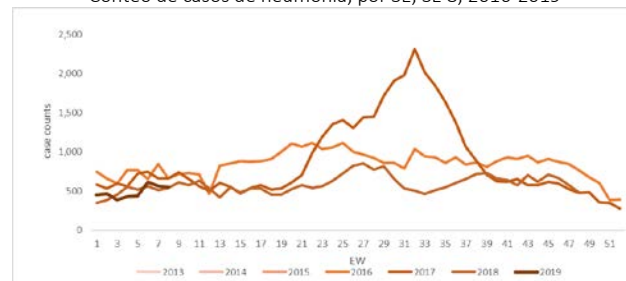
Graph 2. El Salvador: Influenza and RSV distribution, EW 9, 2015-19



Graph 4. El Salvador: Percentage of SARI cases out of total hospitalizations, by EW, 2019. EW 8 (in comparison with 2016-2018)
Porcentaje de casos de IRAG de todas las hospitalizaciones por SE; SE 8 2019 (en comparación con 2016-2018)



Graph 5. El Salvador: Number of pneumonia cases by EW; EW 8, 2016-2019
Conteo de casos de neumonía, por SE; SE 8, 2016-2019

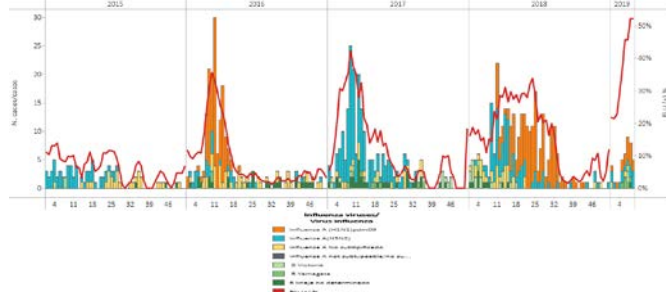


*To view more epi data, view [here](#). / Para ver más datos epi, vea [aquí](#).

Guatemala

- During EW 9, influenza detections increased with influenza A(H3N2) predominance this week and influenza A (H1N1)pdm09 co-circulating (Graph 1). Influenza positivity sharply increased above the alert threshold, as compared to the 2010-18 period (Graph 3); RSV activity has not been reported since EW 4 (Graph 2). During EW 8, the percentage of SARI cases among all hospitalizations remained below the level of 2010-8 seasons (Graph 4). Overall, during EW 8, pneumonia and ARI activity increased and remained lower than the levels reported in 2018 (Graphs 5,6). / Durante la SE 9, las detecciones de influenza A (H3N2) aumentaron con la circulación simultánea de influenza A (H1N1)pdm09 (Gráfico 1). La positividad de influenza se incrementó abruptamente por encima del umbral de alerta en comparación con el período 2010-2018 (Gráfico 3); mientras que no se reportó actividad de VRS desde la SE 4 (Gráfico 2). En la SE 8 el porcentaje de casos de IRAG del total de hospitalizaciones permaneció por debajo del nivel de las temporadas 2010-2018 (Gráfico 4). En general, durante la SE 8, el reporte de neumonías e IRA aumentó y permaneció bajo los niveles reportados en la temporada de 2018 (Gráficos 5,6).

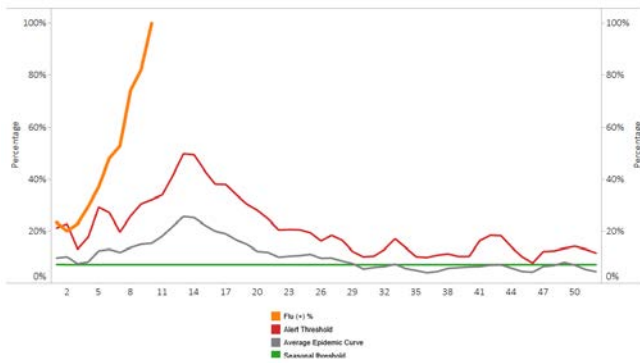
Graph 1. Guatemala: Influenza virus distribution EW 9, 2015-19
Distribución de influenza SE 8, 2015-19



Graph 3. Guatemala: Percent positivity for influenza; EW 9, 2019

(in comparision to 2010-2018)

Porcentaje de positividad de influenza, SE 9, 2019
(en comparación con 2010-2018)

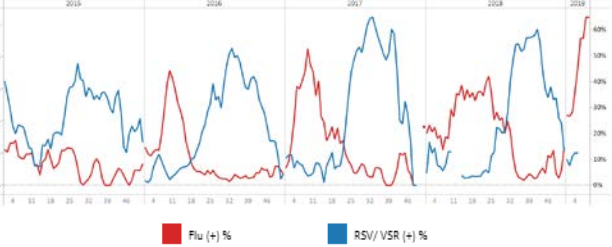


The averaging methodology to determine the alert threshold and epidemic curve references the methodology in the WHO Global Epidemiological Surveillance Standards for Influenza (2014). The influenza percent positivity is calculated using the 3-week averaging method.

Graph 5. Guatemala: Number of pneumonia cases, EW 8, 2017-2019
Número de casos de neumonía, SE 8, 2017-2019

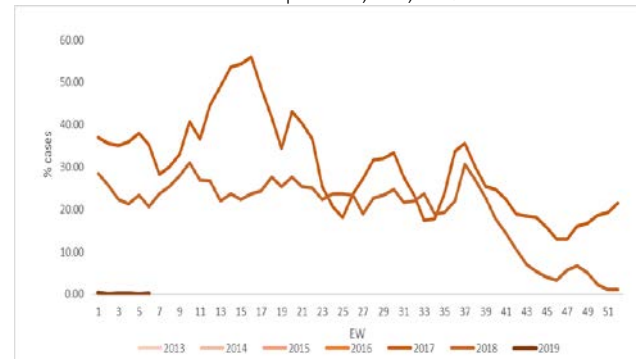


Graph 2. Guatemala: Influenza and RSV distribution, EW 9, 2015-19
Distribución de los virus influenza y VRS; SE 9, 2015-19

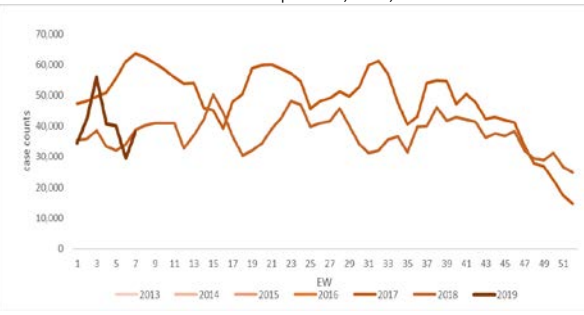


Graph 4. Guatemala: Number of SARI cases, EW 8, 2017-2019

Número de casos por IRAG, SE 8, 2017-2019



Graph 6. Guatemala: Number of ARI cases, EW 8, 2017-2019
Número de casos por IRA, SE 8, 2017-2019



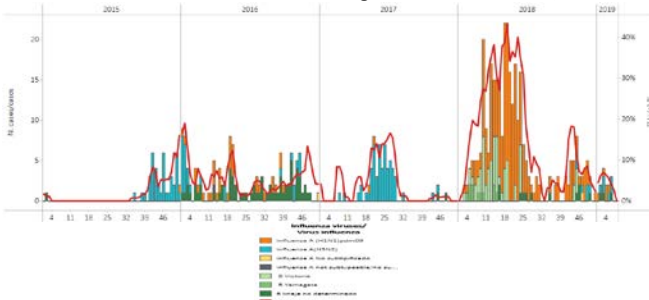
*To view more epi data, view [here](#). / Para ver más datos epi, vea [aquí](#).

Honduras

- During EW 8, no influenza activity was reported by the sentinel sites (Graphs 1,3). After a peak in EW 48, RSV activity steadily decreased (Graph 2). During EW 8, the counts of SARI cases (21) decreased as compared to the previous weeks and remained lower than the levels of the 2012-18 seasons; all SARI cases were in children younger than 5 years (Graph 4). / Durante la SE 8, no se reportó actividad de influenza en los sitios centinela (Gráficos 1,3). Despues de un pico en la SE 48, la actividad del VRS disminuyó considerablemente (Gráfico 2). Durante la SE 8, los conteos de casos de IRAG (21) disminuyeron en comparación con las semanas previas y permanecieron menores que los niveles de las temporadas 2012-18; todos los casos de IRAG ocurrieron en niños menores de 5 años (Gráfico 4).

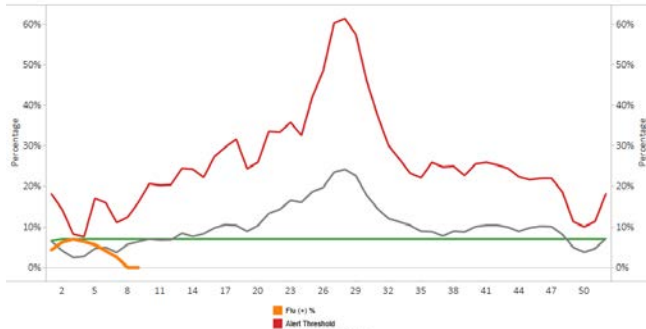
Graph 1. Honduras: Influenza virus distribution from sentinel surveillance, EW 8, 2015-19

Distribución virus de la influenza de la vigilancia centinela, SE 8, 2015-19



Graph 3. Honduras : Percent positivity for influenza, from sentinel surveillance; EW 8, 2019 (in comparision to 2010-2018)

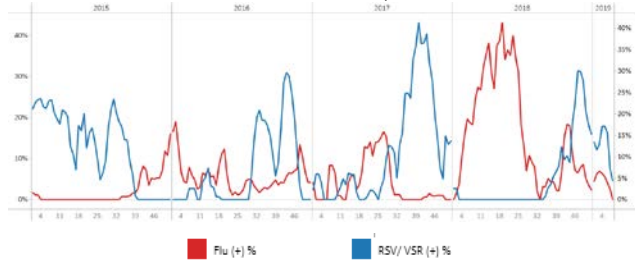
Porcentaje de positividad de influenza, de la vigilancia centinela; SE 8, 2019 (en comparación con 2010-2018)



The averaging methodology to determine the alert threshold and epidemic curve references the methodology in the WHO Global Epidemiological Surveillance Standards for Influenza (2014). The influenza percent positivity is calculated using the 3-week averaging method.

Graph 2. Honduras: Influenza and RSV distribution form sentinel surveillance, EW 8, 2015-19

Distribución de los virus influenza y VRS, SE 8, 2015-19



Graph 4. Honduras: Number of SARI cases out of total hospitalizations, EW 8, 2015-2019

Número de casos de IRAG de todas hospitalizaciones; SE 8, 2015-2019

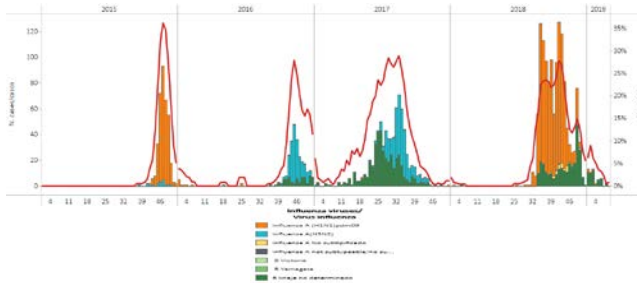


Nicaragua

- Overall, during EW 9, 2019, influenza activity decreased below the seasonal levels and the average epidemic curve (Graphs 1,3); no RSV activity was reported since EW 4, but parainfluenza virus and adenovirus have co-circulated in recent weeks (Graph 2). Pneumonia case counts increased in EW 9, they remained below the levels observed in the previous seasons (2013-18) (Graph 4). The SARI case counts from sentinel surveillance sharply increased in EW 9 and were above previous seasons' levels (Graph 5). / En general, en la SE 9 de 2019 la actividad de influenza disminuyó por debajo de los niveles estacionales y de la curva epidémica promedio (Gráficos 1,3); desde la SE 4 no se reportó actividad del VRS, pero han circulado simultáneamente los virus parainfluenza y adenovirus (Gráfico 2). El conteo de casos de neumonía aumentó en la SE 9 de 2019 pero permaneció por debajo de los niveles observados en las temporadas previas (2013-18) (Gráfico 4). Los conteos de IRAG de la vigilancia centinela aumentaron abruptamente en la SE 9 y estuvieron por encima de los niveles de temporadas anteriores (Gráfico 5).

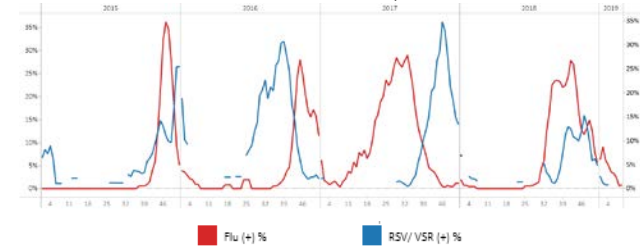
Graph 1. Nicaragua. Influenza virus distribution EW 9, 2015-19

Distribución de influenza SE 9, 2015-19



Graph 2. Nicaragua: Influenza and RSV distribution, EW 9, 2015-19

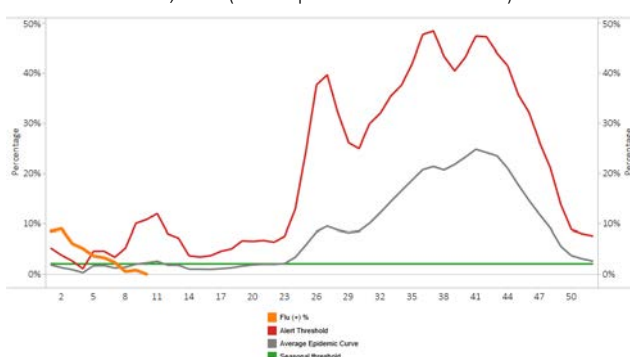
Distribución de los virus influenza y VRS, SE 9, 2015-19



Graph 3. Nicaragua : Percent positivity for influenza, from sentinel surveillance; EW 9, 2019 (in comparision to 2010-2018)

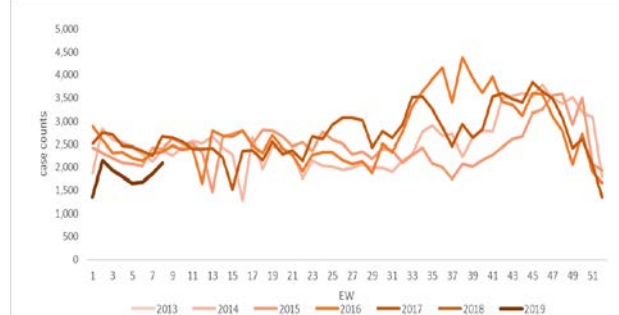
Porcentaje de positividad de influenza de la vigilancia centinela;

SE 9, 2019 (en comparación con 2010-2018)



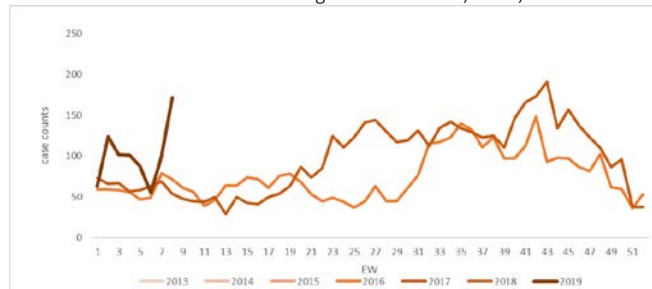
Graph 4. Nicaragua : Number of pneumonia cases, EW 9, 2016-2019

Número de casos de neumonía, SE 9, 2016-2019



Graph 5. Nicaragua : Number of SARI cases from sentinel surveillance, EW 9, 2016-2019

Número de casos de IRAG de vigilancia centinela, EW 9, 2016-2019

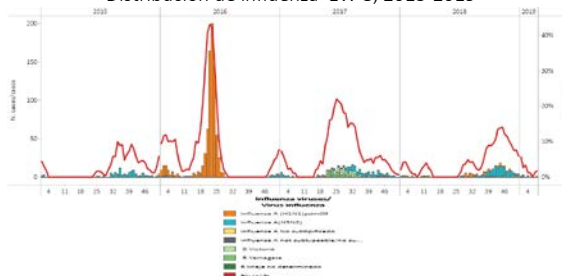


Panama

- During the EW 8, 2019, at the national level, influenza activity slightly increased above the seasonal threshold and the average epidemic curve, as compared to the 2010-18 period (Graphs 1, 3). RSV activity increased as compared to the previous weeks (Graph 2). / En la SE 8 de 2019, la actividad de influenza aumentó ligeramente sobre el umbral estacional y la curva epidémica promedio, en comparación con el período 2010-18 (Gráficos 1, 3). La actividad del VRS aumentó con respecto a las semanas previas (Gráfico 2).

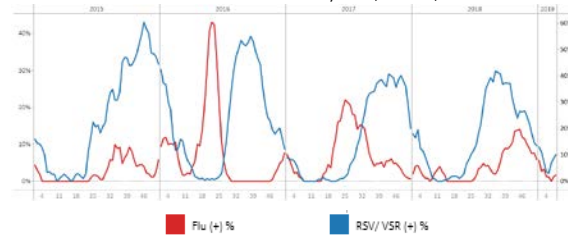
Graph 1. Panama: Influenza virus distribution EW 8, 2015-2019

Distribución de influenza EW 8, 2015-2019



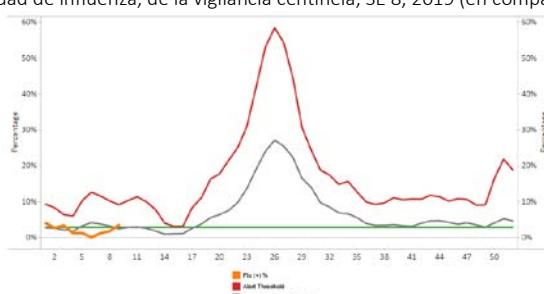
Graph 2. Panama: Influenza and RSV distribution, EW 8, 2015-2019

Distribución de virus influenza y VRS, EW 8, 2015-2019



Graph 3. Panama: Percent positivity for influenza,from sentinel surveillance, EW 8, 2019 (in comparision to 2010-2018)

Porcentaje de positividad de influenza, de la vigilancia centinela, SE 8, 2019 (en comparación con 2010-2018)



The averaging methodology to determine the alert threshold and epidemic curve references the methodology in the WHO Global Epidemiological Surveillance Standards for Influenza (2014). The influenza percent positivity is calculated using the 5-week averaging method.

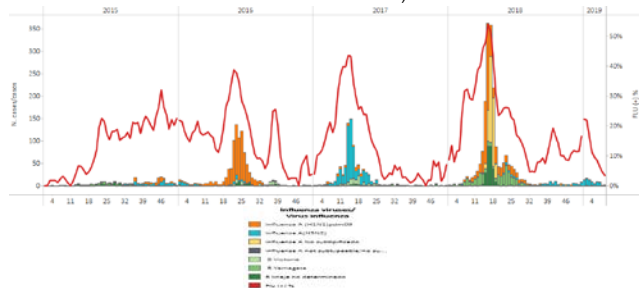
*To view more epi data, view [here](#). / Para ver más datos epi, vea [aquí](#).

Bolivia

- During EW 9, 2019 the percentage of SARI cases decreased compared with previous weeks and was above the levels observed in the 2018 season for the same period (Graph 3); RSV percent positivity among SARI cases was higher than influenza positivity (Graph 2). Influenza activity decreased from the previous week and continued below the average epidemic curve, with influenza A(H3N2) circulating (Graphs 1, 4). Since EW 1, RSV activity has increased steadily through EW 9 (Graph 2). / Durante la SE 9 de 2109, el porcentaje de casos de IRAG disminuyó comparado con las semanas precedentes y estuvo por encima de los niveles observados en la temporada 2018 para el mismo período (Gráfico 3); el porcentaje de positividad para el VRS entre los casos de IRAG fue mayor que la positividad de influenza (Gráfico 2). La actividad de influenza disminuyó con respecto a las semanas previas y continuó por debajo de la curva epidémica promedio, con circulación de influenza A(H3N2) (Gráficos 1, 4). Desde la SE 1 el VRS ha aumentado de manera sostenida hasta la SE 9 (Gráfico 2).

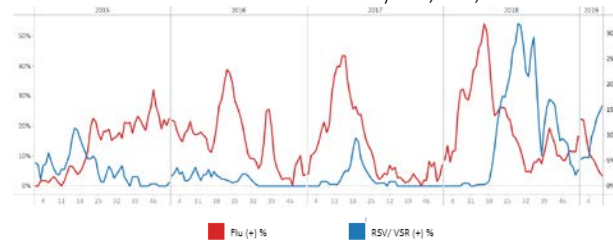
Graph 1. Bolivia. Influenza virus distribution EW 9, 2015-19

Distribución de influenza SE 9, 2015-19



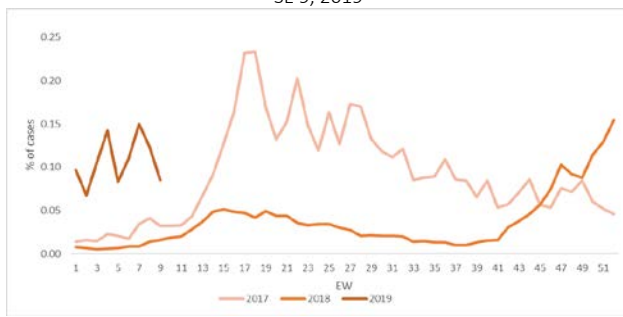
Graph 2. Bolivia: Influenza and RSV distribution, EW 9, 2015-19

Distribución de los virus influenza y VRS, SE 9, 2015-19



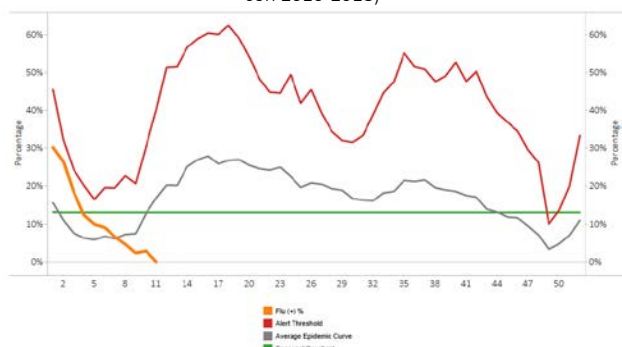
Graph 3. Bolivia: Percentage of SARI cases out of total hospitalizations, EW 9, 2019

Porcentaje de casos IRAG del total de hospitalizaciones, SE 9, 2019



Graph 4. Bolivia: Percent positivity for influenza, EW 9, 2018-19 (in comparison to 2010-2018)

Porcentaje de positividad de influenza, SE 9, 2018-19 (en comparación con 2010-2018)

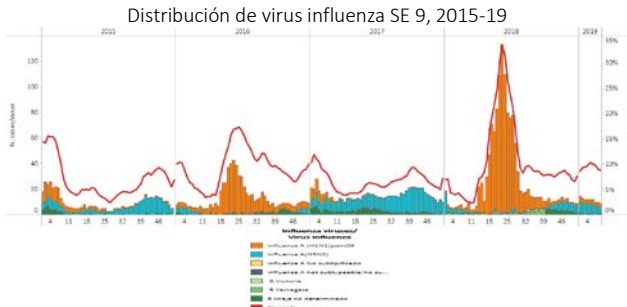


*To view more epi data, view [here](#). / Para ver más datos epi, vea [aquí](#).

Colombia

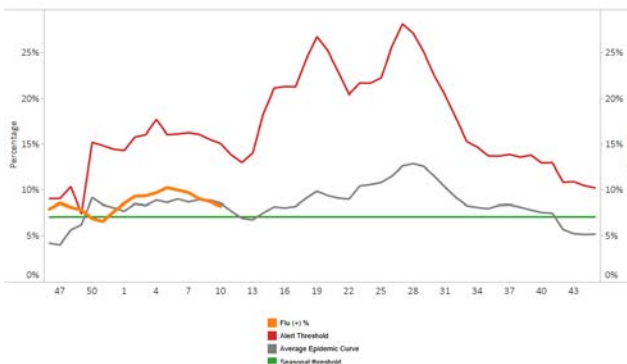
- During EW 9, at national level, SARI case counts decreased as compared to the previous seasons for the same period (Graph 4). Influenza activity decreased below the average epidemic curve, with influenza A(H3N2) and A(H1N1)pdm09 co-circulating (Graphs 1,3); RSV percent positivity slightly decreased during EW 9 (Graph 2). Pneumonia activity slightly increased in recent weeks and was below the seasonal levels for the period; ARI activity increased as compared to the 2017-18 seasons (Graphs 5,6). / En la SE 9, a nivel nacional, el número de casos de IRAG disminuyó en comparación con las temporadas previas para el mismo período (Grafico 4). La actividad de influenza disminuyó por debajo de la curva epidémica promedio con circulación simultánea de influenza A(H3N2) e influenza A(H1N1)pdm09 (Gráficos 1,3); el porcentaje de positividad de VRS disminuyó ligeramente en la SE 9 (Gráfico 2). La actividad de neumonía aumentó ligeramente en las últimas semanas y estuvo por debajo de los niveles estacionales para el período; la actividad de IRA aumentó en comparación con los niveles de las temporadas de 2017-18 (Gráficos 5,6).

Graph 1. Colombia. Influenza virus distribution EW 9, 2015-19



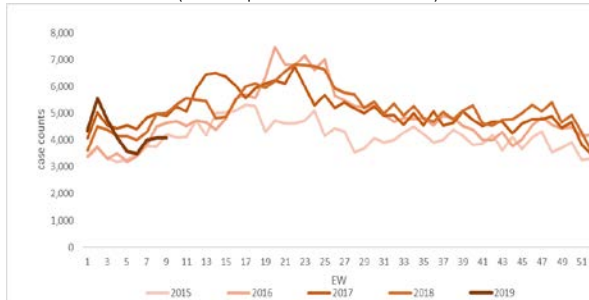
Graph 3. Colombia: Percent positivity for influenza, EW 9, 2018-19
(in comparison to 2010-2018)

Porcentaje de positividad de influenza, EW 9, 2018-19 (in comparision to 2010-2018)



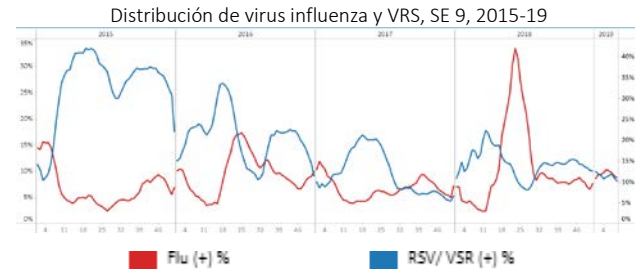
Graph 5. Colombia: Number of pneumonia-related hospitalizations, by EW 9, 2019 (in comparison with 2015-18)

Número de hospitalizaciones asociadas a neumonía, por SE 9, 2019 (en comparación con 2015-18)



*To view more epi data, view [here](#). / Para ver más datos epi, vea [aquí](#).

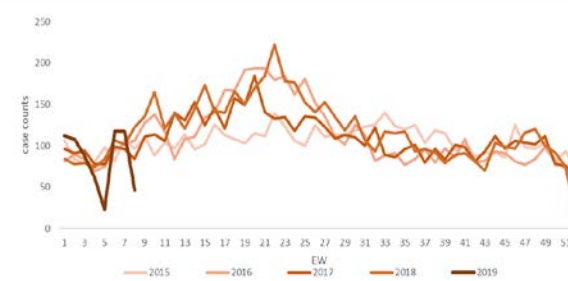
Graph 2. Colombia: Influenza and RSV distribution, EW 9, 2015-19



Graph 4. Colombia: Number of SARI cases, EW 9, 2019

(in comparison to 2013-2018)

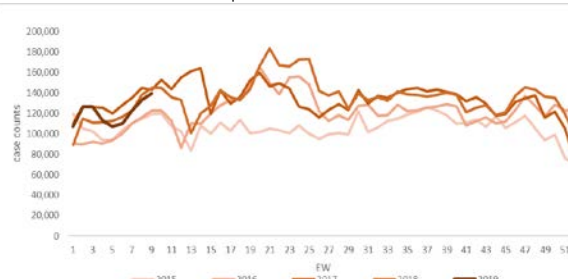
Número de casos de IRAG, SE 9, 2019 (en comparación a 2013-2018)



Graph 6. Colombia: Number of ARI cases, EW 9, 2019

(from all consultations), in comparison with 2013-18

Número de casos de IRA, SE 9 2019 (de todas consultas), en comparación con 2013-18



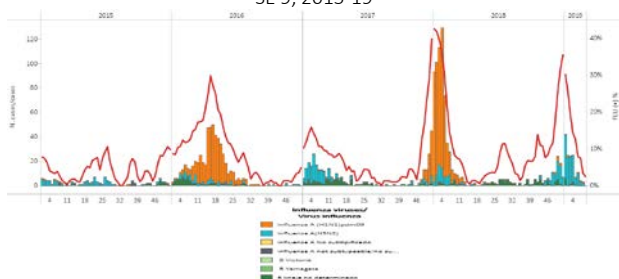
Ecuador

- During EW 8, at national level, the proportion of SARI cases, the proportion of ICU admissions and deaths proportions among all hospitalizations decreased from previous weeks and remained below the levels observed during the 2013 - 2018 seasons for the same period (Graphs 4,5). Overall, influenza activity among SARI cases decreased and remained below the average epidemic curve, as in the previous weeks; no activity was reported during EW 9, 2019 (Graphs 1,2). During EW 9, RSV activity increased compared to previous weeks (Graph 2). / Durante la SE 8, a nivel nacional, la proporción de casos de IRAG, admisiones a UCI y la proporción de fallecidos entre el total de hospitalizaciones disminuyeron con relación a las semanas previas y se mantuvieron por debajo de los niveles observados durante las temporadas 2013-18 para el mismo período (Gráficos 4, 5). En general la actividad de influenza en los casos de IRAG disminuyó y permaneció por debajo de la curva epidémica promedio al igual que en las semanas previas (Gráficos 1,2). En la SE 9, la actividad del VRS aumentó en comparación con las semanas anteriores (Gráfico 2).

Graph 1. Ecuador: Influenza virus distribution from SARI sentinel cases by EW 9, 2015-19

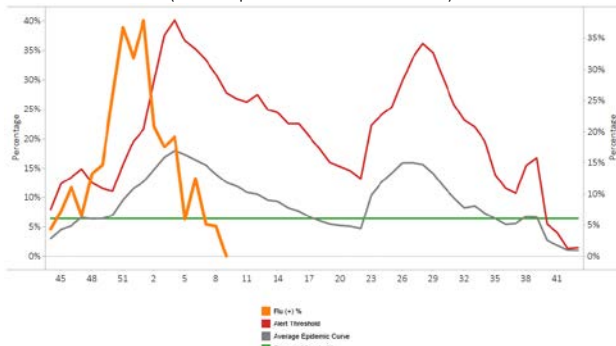
Distribución de virus influenza de casos de IRAG centinela

SE 9, 2015-19



Graph 3. Ecuador: Percent positivity for influenza,EW 9, 2019
(in comparision to 2010-2018)

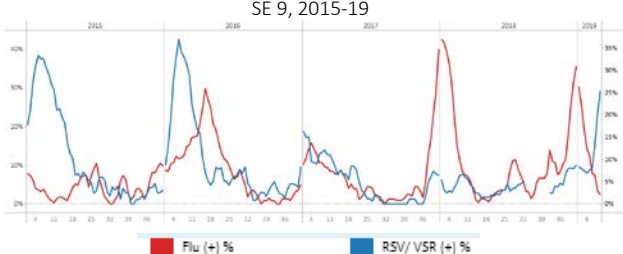
Porcentaje de positividad de influenza, SE 9, 2019
(en comparación con 2010-2018)



Graph 2. Ecuador: Influenza and RSV distribution from SARI sentinel cases, EW 9, 2015-19

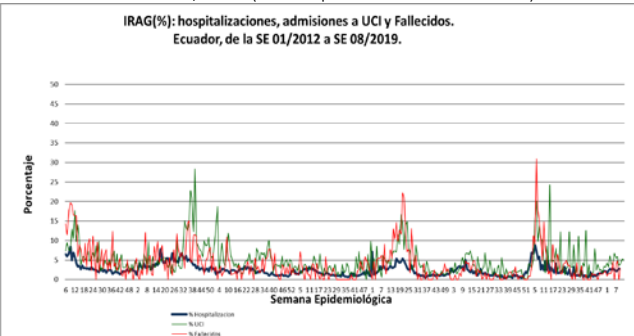
Distribución de los virus influenza y VRS de casos de IRAG centinela,

SE 9, 2015-19

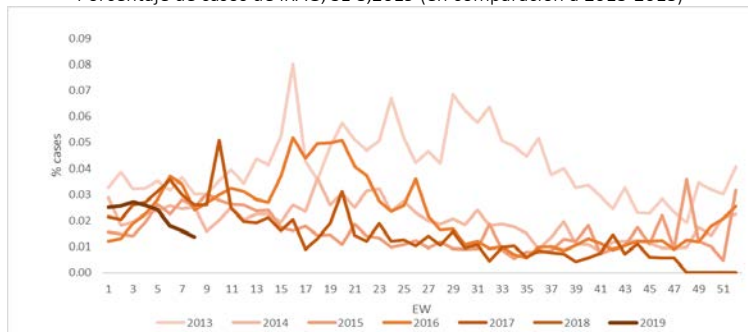


Graph 4. Ecuador: Proportion of SARI cases, ICU admissions and deaths by EW, as of EW 8, 2019 (compared to 2012-2018)

Proporción de casos de IRAG, admissions a UCI y muertes por SE, hasta la SE 8, 2019 (en comparacion con 2012-2018)



Graph 5. Ecuador: Percentage of SARI cases, EW 8,2019 (in comparison to 2013-2018)
Porcentaje de casos de IRAG, SE 8,2019 (en comparación a 2013-2018)



*To view more epi data, view [here](#). / Para ver más datos epi, vea [aquí](#).

Peru

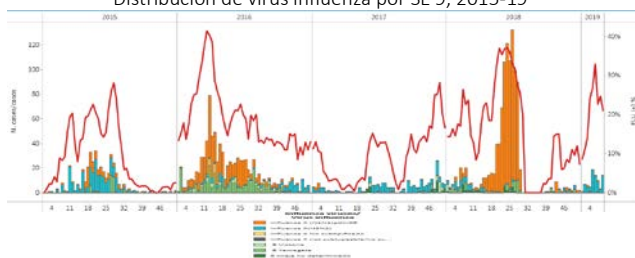
- During EW 9, at national level, SARI case counts among all hospitalizations decreased as compared to the previous week and remained lower than the 2015-2018 seasons level for the same period (Graph 4). While in EW 9 percent positivity for influenza increased compared to previous weeks and remained above the alert threshold, with influenza A(H3N2) predominance (Graph 3). Influenza activity decreased compared to previous seasons for the same period (2015-18) (Graphs 1). Few RSV detections were reported in EW 9 (Graph 2). During EW 9, at the national level, ARI case counts among those aged under 5 years decreased slightly as compared with the previous week and were below the levels observed in 2016-2018 for the same period (Graph 5). Likewise, pneumonia case counts among children < 5 years decreased slightly and was lower than the counts reported in 2017 for the same period (Graph 6) *. / En la SE 9, a nivel nacional, el número de casos de IRAG entre el total de hospitalizaciones disminuyó con respecto a la semana previa y se mantuvo por debajo de los niveles de las temporadas 2015-2018 para el mismo período (Gráfico 4). Mientras que en la SE 9, el porcentaje de muestras positivas para influenza aumentó comparado con las semanas previas y permaneció por encima del umbral de alerta, con predominancia de influenza A(H3N2), la actividad de influenza disminuyó comparad con las temporadas anteriores para el mismo período (2015-18) (Gráficos 1,3). Se reportaron escasas detecciones de VRS en la SE 9 (Gráfico 2). En la SE 9, a nivel

nacional, el conteo de casos de IRA en los < 5 años disminuyó ligeramente comparado con la semana previa y estuvo por debajo de los niveles observados en 2016-2018 para el mismo período (Gráfico 5). Así mismo, el conteo de casos de neumonía en niños menores de 5 años disminuyó ligeramente y fue menor que los conteos reportados en 2017 para el mismo período (Gráfico 6) * .

*Online report/ informe en línea

Graph 1. Peru: Influenza virus distribution by EW 9, 2015-19

Distribución de virus influenza por SE 9, 2015-19



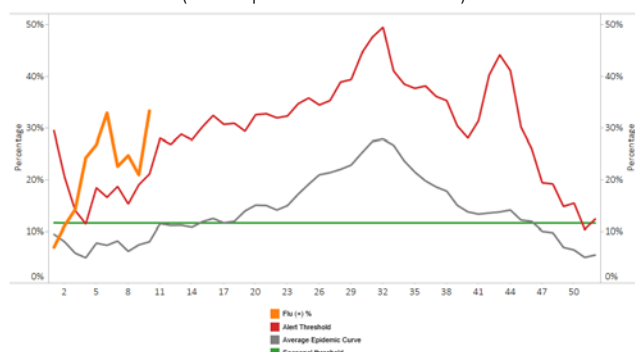
Graph 2. Peru: Influenza and RSV distribution, EW 9, 2015-19

Distribución de virus influenza y VRS, SE 9, 2015-19



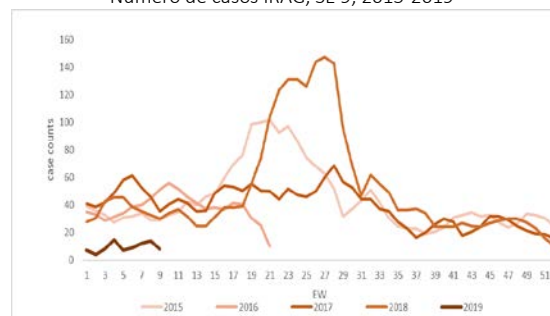
Graph 3. Perú: Percent positivity for influenza, EW 9, 2019
(in comparision to 2010-2018)

Porcentaje de positividad de influenza, EW 9, 2019
(en comparación con 2010-2018)



Graph 4. Peru: Number of SARI cases, by EW 9, 2015-2019

Número de casos IRAG, SE 9, 2015-2019



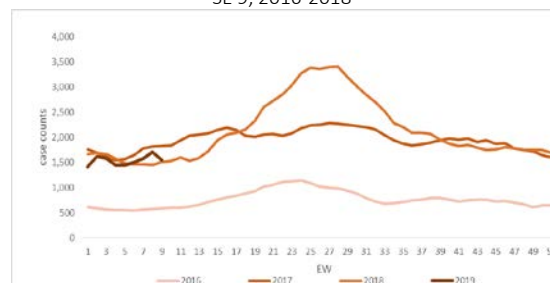
Graph 5. Peru: ARI cases in children under 5 years, EW 9, 2016-2019

Casos de IRA en niños menores de 5 años, SE 9, 2016-2018



Graph 6. Peru: Pneumonia cases in children under 5 years, EW 9, 2016-2019

Casos de neumonía en niños menores de 5 años, SE 9, 2016-2018

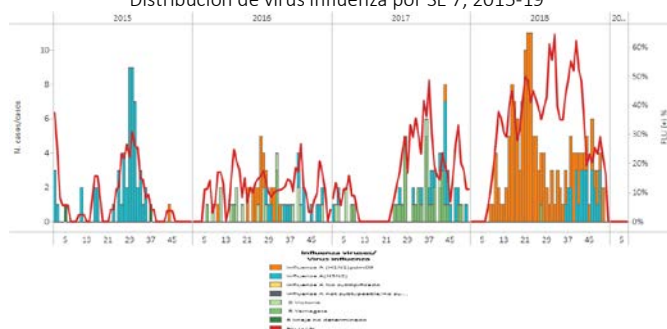


*To view more epi data, view [here](#). / Para ver más datos epi, vea [aquí](#).

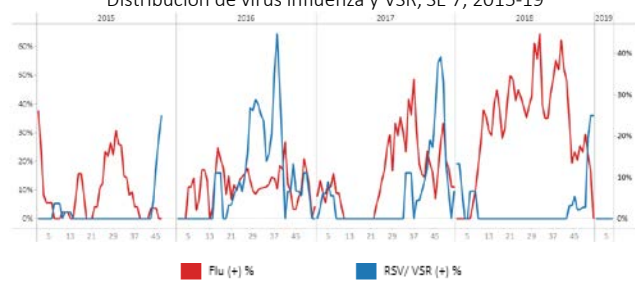
Venezuela

- During EW 7, no activity of influenza was reported (Graphs 1, 2). From EW 42 to EW 52, RSV activity peaked and was higher than the levels reported in 2015-2017 for the same period, with no detections during 2019 (Graph 2). / En la SE 7, no se reportó actividad de influenza (Gráficos 1, 2). Desde la SE 42 hasta la SE 52, la actividad de VRS llegó a su pico máximo y fue superior a los niveles reportados en 2015-2017 para el mismo período, sin detecciones en lo que va de 2019 (Gráfico 2).

Graph 1. Venezuela: Influenza virus distribution by EW 7, 2015-19
Distribución de virus influenza por SE 7, 2015-19



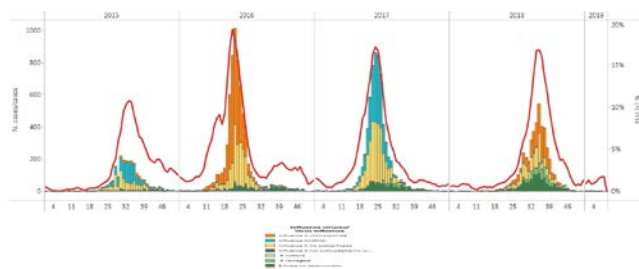
Graph 2. Venezuela: Influenza and RSV distribution, EW 7, 2015-19
Distribución de virus influenza y VSR, SE 7, 2015-19



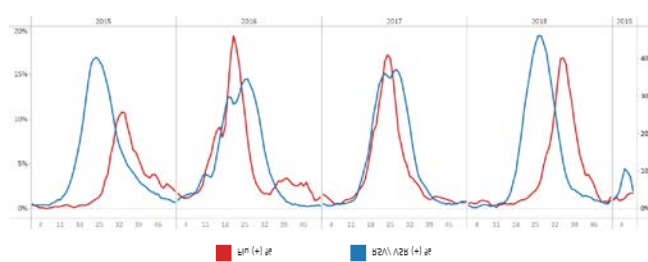
Argentina

- During EW 9, influenza activity decreased as compared with the previous weeks (Graphs 1, 2). RSV positivity decreased and was similar to the levels reported during the previous season for the same period (Graph 2). / Durante la SE 9, la actividad de influenza disminuyó en comparación con semanas previas (Gráficos 1, 2). El porcentaje de positividad para VRS disminuyó y fue similar a lo registrado en la temporada previa para el mismo período (Gráficos 2).

Graph 1. Argentina - Influenza virus distribution by EW 7, 2015-2019
Distribución de virus influenza por SE 7, 2015-2019



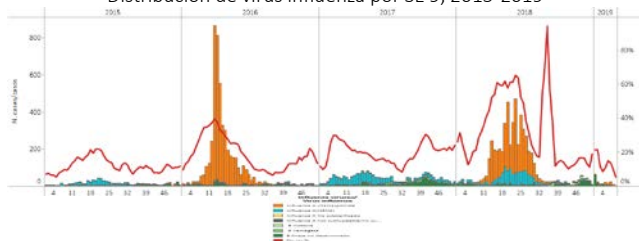
Graph 2. Argentina - Influenza and RSV distribution by EW 7, 2015-2019
Distribución de virus influenza y VSR, SE 7, 2015-2019



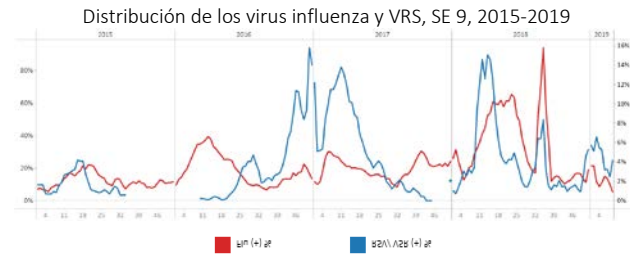
Brazil

- During EW 9, low influenza activity was reported by the three NICs (Graphs 1,3,5); likewise, RSV detections decreased in recent weeks (Graph 2). / En la SE 9, se reportó baja actividad de influenza por los tres NIC (Gráficos 1,3,5); en tanto las detecciones de VRS disminuyeron en las últimas semanas (Gráfico 2).

Graph 1. Brazil- All NICs. Influenza virus distribution by EW 9, 2015-2019
Distribución de virus influenza por SE 9, 2015-2019



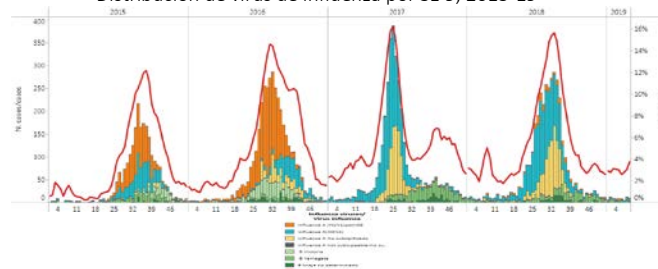
Graph 2. Brazil – All NICs: Influenza and RSV distribution, EW 9, 2015-2019
Distribución de los virus influenza y VRS, SE 9, 2015-2019



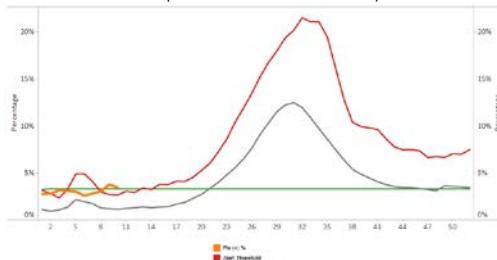
Chile

- During EW 9, at national level, SARI case counts decreased from the previous week and remained below the seasonal level (Graph 4); ILI cases count increased slightly from previous weeks and remained below seasonal levels (Graph 5). In EW 9, 2019, influenza activity was above the alert threshold, with influenza A(H3N2), influenza A(H1N1)pdm09 and influenza B co-circulating (Graphs 1,3). RSV percent positivity remained at low levels, similar to the levels reported in 2015-18 for the same period (Graph 2); parainfluenza and adenovirus co-circulated with RSV during EW 9. / Durante la SE 9, a nivel nacional, el conteo de casos de IRAG disminuyó con respecto a la semana previa y permaneció por debajo de los niveles estacionales (Gráfico 4); el conteo de casos de ETI aumentó ligeramente con relación a las semanas previas y permaneció por debajo de los niveles estacionales (Gráfico 5). En la SE 9 de 2019, la actividad de influenza se ubicó sobre el umbral de alerta, con predominio de influenza A(H3N2), influenza A(H1N1)pdm09 e influenza B en circulación simultánea (Gráficos 1,3). El porcentaje de positividad de VRS permaneció con niveles bajos y similar a los niveles reportados en 2015-18 para el mismo período (Gráfico 2); los virus parainfluenza y adenovirus circularon simultáneamente con el VRS en la SE 9.

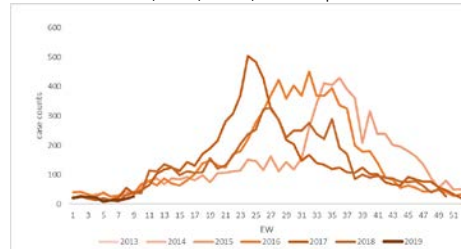
Graph 1. Chile: Influenza virus distribution by EW 9, 2015-19
Distribución de virus de influenza por SE 9, 2015-19



Graph 3. Chile: Baseline for the percent positivity for influenza, EW 9, 2019
(in comparison to 2010-2018)
Línea basal para el porcentaje de positividad de influenza, SE 9, 2019 (en comparación con 2010-2018)

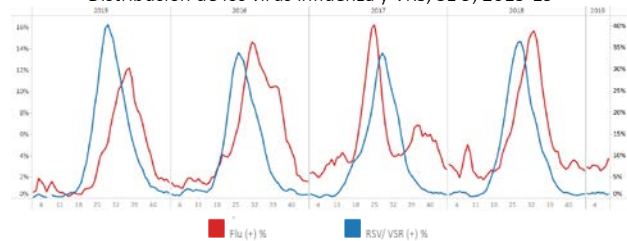


Graph 5. Chile. Number of ILI cases, EW 9, 2019, in comparison 2013-18
Número de casos ETI, SE 9, 2019, en comparación con 2013-18

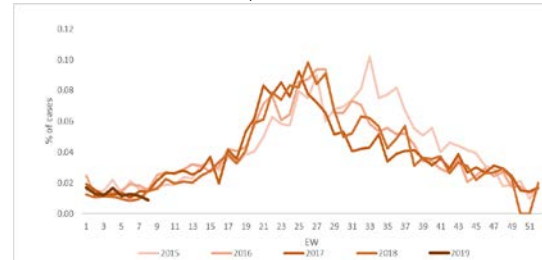


*To view more epi data, view [here](#). / Para ver más datos epi, vea [aquí](#).

Graph 2. Chile: Influenza and RSV distribution, EW 9, 2015-19
Distribución de los virus influenza y VRS, SE 9, 2015-19

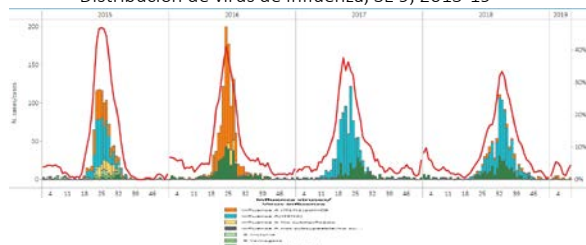


Graph 4. Chile: Number of SARI cases from all hospitalizations,
EW 9, 2015-2019
Número de casos por IRAG de las hospitalizaciones totales,
SE 9, 2015-2019

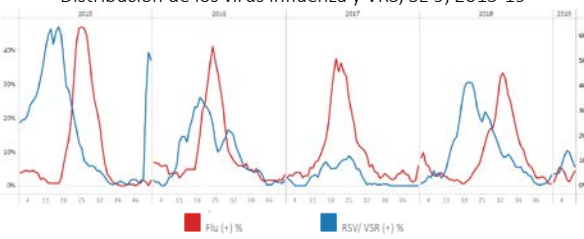


- During EW 8, at national level, ILI case counts decreased and represented 6% of all consultations; ILI activity remained below the levels observed in most of the previous seasons (Graph 5). In EW 8, the percentage of SARI cases (3%) per total hospitalizations decreased from the prior week (Graph 4); the most affected age groups were among < 5 years and those ≥ 60 years. In general, during EW 9, 2019, reported influenza activity was low as compared to previous weeks (Graphs 1, 3); RSV positivity decreased (Graph 2). / Durante la SE 8, a nivel nacional, el recuento de casos de ETI disminuyó, y representó el 6% de todas las consultas; la actividad de ETI permaneció por debajo de los niveles observados en la mayoría de las temporadas previas (Gráfico 5). En la SE 8, el porcentaje de casos de IRAG (3%) del total de hospitalizaciones disminuyó con respecto a la semana previa, (Gráfico 4); los grupos de edad más afectados fueron los < de 5 años y los ≥ 60 años. En general, en la SE 9 de 2019, se reportó una baja actividad de influenza al compararse con la actividad de semanas previas (Gráficos 1, 3); la positividad de VRS disminuyó (Gráfico 2).

Graph 1. Paraguay: Influenza virus distribution EW 9, 2015-19
Distribución de virus de influenza, SE 9, 2015-19

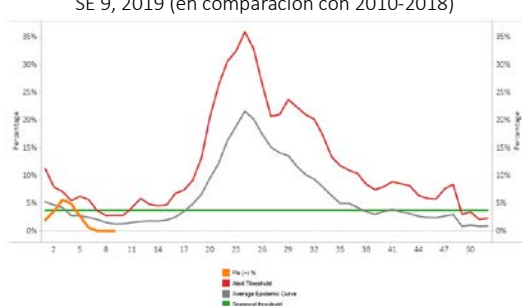


Graph 2. Paraguay: Influenza and RSV distribution, EW 9, 2015-19
Distribución de los virus influenza y VRS, SE 9, 2015-19



Graph 3. Paraguay: SARI sentinel sites: Baseline for the percent positivity for influenza, EW 9, 2019 (in comparision to 2010-2018)

Línea basal para el porcentaje de positividad de influenza, SE 9, 2019 (en comparación con 2010-2018)



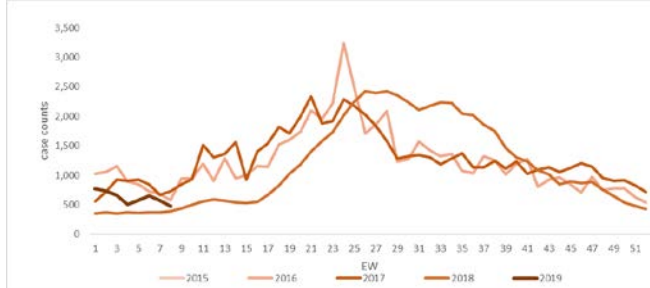
Graph 4. Paraguay: Percentage of SARI cases per total hospitalizations, EW 8, 2019 (as compared to 2016-2018)

Porcentaje de casos de IRAG por el total de hospitalizaciones, SE 8, 2019 (en comparación con 2016-2018)



Graph 5. Paraguay: Number of ILI cases, EW 8, 2016-19

Número de casos de ETI, SE 8 2016-19



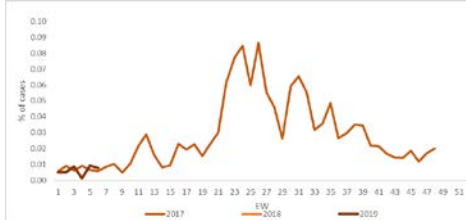
*To view more epi data, view [here](#). / Para ver más datos epi, vea [aquí](#).

Uruguay

- From EW 2 to EW 9, 2019, no influenza activity was reported (Graphs 3,4); RSV activity was not reported among SARI cases during EW 9 (Graph 2). The percentage of SARI cases decreased during EW 7 and remained above the previous season levels (Graph 1). During EW 6 of 2019, the proportion of SARI cases requiring ICU admission was slightly higher compared with the 5 previous weeks. / Desde la SE 2 hasta la SE 9 de 2019, no se reportó actividad de influenza (Gráficos 3,4); no se reportó actividad de VRS en los casos de IRAG durante la SE 9 (Gráfico 2). El porcentaje de casos de IRAG disminuyó durante la SE 7 y permaneció por encima del nivel de temporadas previas (Grafico 1). Durante la semana 6 de 2019, la proporción de casos de IRAG que fueron admitidos a la UCI fue ligeramente mayor comparada con las 5 semanas previas.

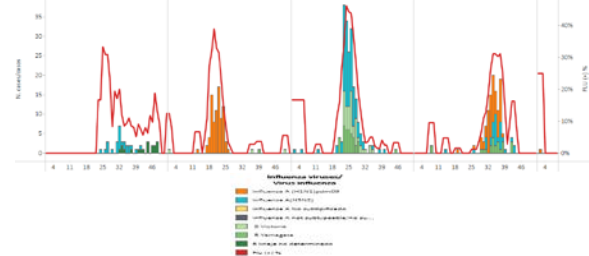
Graph 1. Uruguay: Percent of SARI cases per total hospitalizations, EW 7, 2017-2019

Porcentaje de casos IRAG por total hospitalizaciones, SE 7, 2017-2019



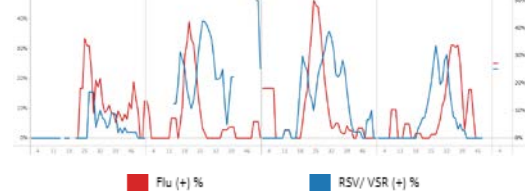
Graph 3. Uruguay: Influenza virus distribution by EW 9, 2015-19

Distribución de virus de influenza, por SE 9, 2015-19



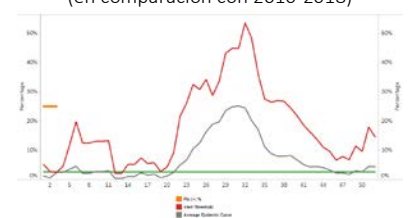
Graph 2. Uruguay: Influenza and RSV distribution, EW 9, 2015-19

Distribución de los virus influenza y VRS, SE 9, 2015-19



Graph 4. Uruguay: Percent positivity for influenza, EW 9, 2019 (in comparision to 2010-2018)

Porcentaje de positividad de influenza, SE 9, 2019 (en comparación con 2010-2018)

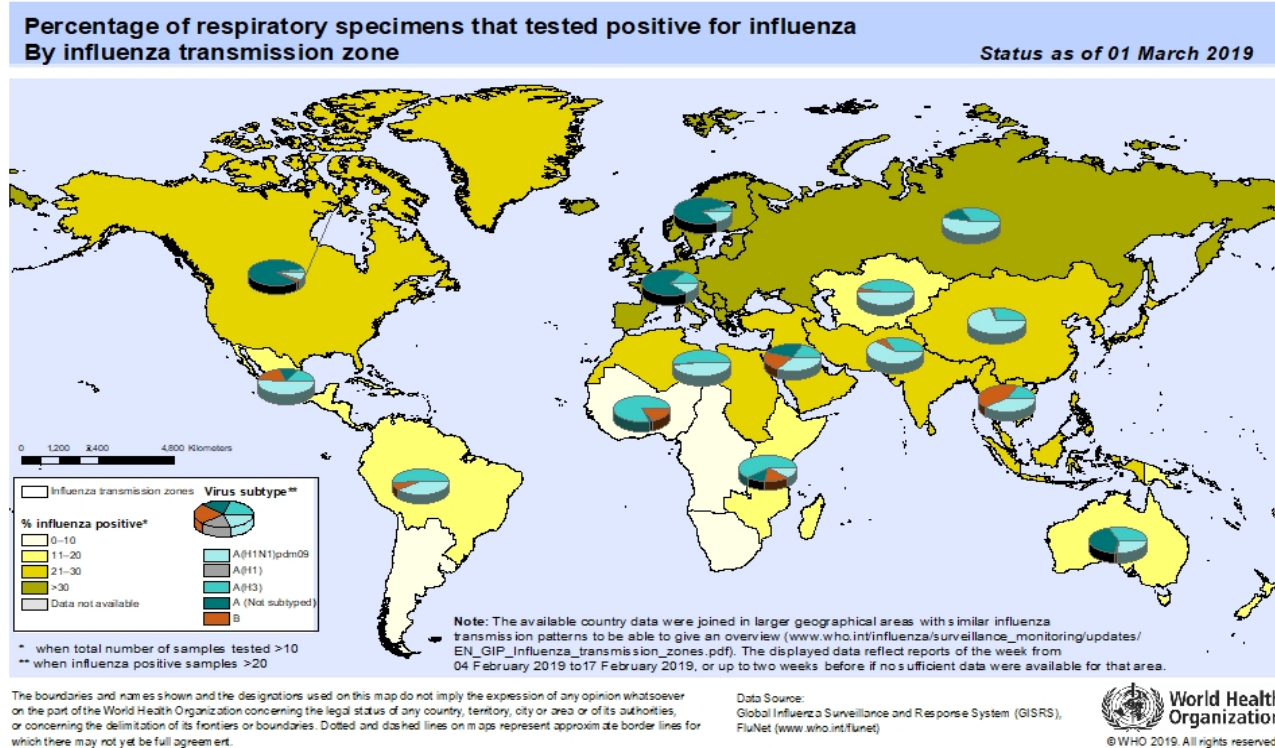


*To view more epi data, view [here](#). / Para ver más datos epi, vea [aquí](#).

Influenza Global Update 336 / Actualización de influenza a nivel global 336
March 4, 2019 / 4 de marzo de 2019
Based on data up to February 17, 2019 / basado en datos hasta el 17 de febrero de 2019

In the temperate zone of the northern hemisphere influenza activity continued to increase. In North America, influenza activity continued to increase in the United States of America, with influenza A(H1N1)pdm09 as the dominant subtype. In Europe, influenza activity remained elevated across the continent and was reported as widespread in most of the countries. Influenza A viruses co-circulated. In North Africa, influenza activity remained elevated. In Western Asia, influenza activity peaked in some countries and increased in others, with all seasonal influenza subtypes co-circulating. In East Asia, influenza activity appeared to decrease overall, with influenza A(H1N1)pdm09 virus predominating. In the temperate zones of the southern hemisphere, influenza activity remained at interseasonal levels, with the exception of some parts of Australia where influenza activity remained above inter-seasonal levels. / En la zona templada del hemisferio norte la actividad de influenza continuó en aumento. En América del Norte, en los Estados Unidos de América, la actividad de influenza continúa en aumento con el predominio de influenza A (H1N1) pdm09. En Europa, la actividad de influenza continúa elevada en todo el continente y la mayoría de los países reportó su circulación generalizada. Los virus de la influenza A circularon de manera simultánea. En el norte de África las detecciones de influenza permanecen elevadas. En el oeste asiático, la actividad de influenza alcanzó su pico en algunos países mientras que en otros aumentó, con la circulación simultánea de todos los subtipos estacionales. En el este de Asia en general, la actividad de influenza pareció disminuir, con el predominio de influenza A(H1N1)pdm09. En las zonas templadas del hemisferio sur, la actividad de influenza permanece en los niveles entre estaciones con excepción de algunas partes de Australia en donde la actividad de influenza permanece por encima de los niveles entre cada estación.

National Influenza Centres (NICs) and other national influenza laboratories from 115 countries, areas or territories reported data to FluNet for the time period from 04 February 2019 to 17 February. The WHO GISRS laboratories tested more than 220347 specimens during that time period, 74302 were positive for influenza viruses, of which 73225 (98.6%) were typed as influenza A and 1077 (1.4%) as influenza B. Of the sub-typed influenza A viruses, 19600 (65.2%) were influenza A(H1N1)pdm09 and 10447 (34.8%) were influenza A(H3N2). Of the characterized B viruses, 82 (26.2%) belonged to the B-Yamagata lineage and 231 (73.8%) to the B-Victoria lineage. / Los Centros Nacionales de Influenza (NIC) y otros laboratorios nacionales de influenza de 115 países, áreas o territorios reportaron sus datos a FluNet para el período comprendido entre el 4 de febrero y el 17 de febrero de 2019. Los laboratorios GISRS de la OMS analizaron más de 220347 muestras durante ese período, 74.302 fueron positivas para los virus de la influenza, de los cuales 73.225 (98,6%) se tipificaron como influenza A y 1.077 (1,4%) como influenza B. De los virus de influenza A a los cuales se les identificó el subtipo, 19.600 (65,2%) fueron influenza A(H1N1)pdm09 y 10.447 (34,8%) fueron influenza A (H3N2). De los virus B caracterizados, 82 (26,2%) pertenecían al linaje B-Yamagata y 231 (73,8%) al linaje B-Victoria.



ACRONYMS

| | |
|-----------------|---|
| ARI | Acute Respiratory Infection |
| CARPHA | Caribbean Public Health Agency |
| CENETROP | Centro de Enfermedades Tropicales (Santa Cruz, Bolivia) |
| EW | Epidemiological Week |
| ILI | Influenza-like illness |
| INLASA | Instituto Nacional de Laboratorios de Salud (La Paz, Bolivia) |
| INS | Instituto Nacional de Salud |
| ORV | Other respiratory viruses |
| SARI | Severe acute respiratory infection |
| SEDES | Servicio Departamental de Salud (Bolivia) |
| ICU | Intensive Care Unit |
| RSV | Respiratory Syncytial Virus |

ACRÓNIMOS

| | |
|-----------------|--|
| CARPHA | Agencia de Salud Pública del Caribe/Caribbean Public Health Agency |
| CENETROP | Centro de Enfermedades Tropicales (Santa Cruz, Bolivia) |
| ETI | Enfermedad Tipo influenza |
| INLASA | Instituto Nacional de Laboratorios de Salud (La Paz, Bolivia) |
| INS | Instituto Nacional de Salud |
| IRA | Infección Respiratoria Aguda |
| IRAG | Infección Respiratoria Aguda grave |
| OVR | Otros virus respiratorios |
| SE | Semana epidemiológica |
| SEDES | Servicio Departamental de Salud (Bolivia) |
| UCI | Unidad de Cuidados Intensivos |
| VRS | Virus Respiratorio Sincitial |